



نقش منطقه‌بندی بلورهای فلدسپار در تفسیر دگرگونی ماقمایی توده گرانیت‌وئیدی گوشه (جنوب شرق بروجرد)

سیده اسماء موسوی^۱، زهرا طهماسبی^{*}، فاطمه سرجوقیان^۲، احمد احمدی خلجمی^۱، معصومه زارع شولی^۱

۱- گروه زمین‌شناسی، دانشکده علوم پایه، دانشگاه لرستان

۲- گروه علوم زمین، دانشکده علوم پایه، دانشگاه کردستان

(دریافت مقاله: ۹۸/۹/۳، نسخه نهایی: ۹۸/۱۱/۲۶)

چکیده: توده گرانیت‌وئیدی گوشه در جنوب شرق بروجرد دارای ترکیب گرانیت، گرانوودیوریت و برونبوم‌های ریزدانه‌ای با ترکیب گرانوودیوریت تا کوارتز‌مونزون‌دیوریت است. حضور این برونبوم‌ها به همراه شواهدی از بافت‌های غیرتعادلی چون لبه انحلالی و منطقه‌بندی در پلازیوکلازها، بافت غربالی، لخته‌های مافیک، بیوتیت تیغه‌ای، بافت خال فلدسپار قلیایی و آپاتیت سوزنی نشان دهنده شرایط ناپایدار و غیرتعادلی در محیط تبلور بوده که به احتمال بسیار در اثر صعود سریع ماقما و یا فرآیند آمیختگی ماقما ایجاد شده است. بلورهای فلدسپار قلیایی و پلازیوکلاز در سنگ‌های نفوذی گوشه از دید ترکیب و بافتی ساختار منطقه‌ای نشان می‌دهند. ترکیب شیمیایی پلازیوکلازها در سنگ‌های گرانیت‌وئیدی در گستره میان اوایل آلبیت (An: 2) در لبه تا اوایل آندزین (An: 33) در مرکز و ترکیب پلازیوکلاز برونبوم‌ها در گستره به نسبت گستردگتری از اوایل الیگوکلاز (An: 11) تا اواسط آندزین (An: 36) تغییر می‌کند. ترکیب فلدسپار قلیایی در سنگ‌های گرانیت‌وئیدی با درصد ارتوکلاز ۹۷ - ۹۴ Or = ۶۹ - ۹۶ Or = ۶۹ مشخص شده است. فراوانی عناصر کمیاب Mg، Ba و Sr در فلدسپارها، الگوی نوسانی نشان می‌دهند. الگوی نوسانی عناصر اصلی و کمیاب از مرکز به لبه در بلور فلدسپار به نقش مؤثر پدیده آمیختگی ماقمایی در شکل گیری توده گرانیت‌وئیدی گوشه اشاره دارد.

واژه‌های کلیدی: فلدسپار؛ منطقه‌بندی؛ آمیختگی ماقمایی؛ گوشه؛ بروجرد.

شرایط فیزیکی ماقما یا رخداد آمیختگی در اتاق ماقمایی با توجه به بافت و ترکیب کانی‌ها به ویژه پلازیوکلاز در پژوهش‌های گوناگون مورد توجه قرار گرفته است [۱۲، ۱۳]. تغییر ترکیب پلازیوکلاز طی رشد و ایجاد انواع منطقه‌بندی در آن، همراه شکل‌گیری بافت‌هایی چون انواع بافت‌هایی واجذبی، معرف فرآیندهایی هستند که در اثر تبادل انرژی و ماده در مخزن و بین مخزن ماقمایی و محیط در بردارنده آن رخ می‌دهند [۱۴، ۱۵]. فرآیندهای فیزیکی چون تغییر دما [۱۶]، فشار سنگ‌ایستایی [۱۷] و فشار بخار آب در فضای ماقما [۱۸] افروز بر فرآیندهای شیمیایی مانند آمیختگی [۱۹] که شیمی ماقما را تغییر می‌دهند می‌توانند نقش تعیین کننده‌ای در

مقدمه

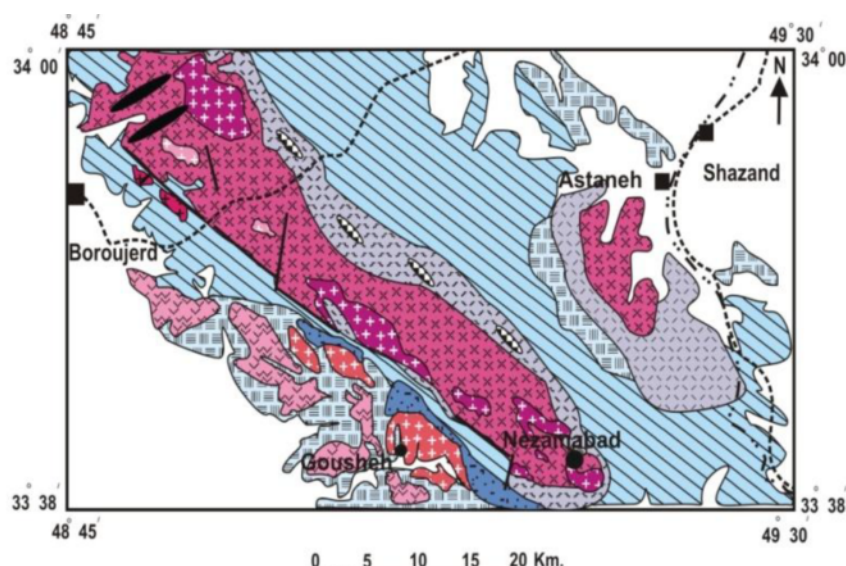
آمیختگی ماقمایی به عنوان فرآیند مهمی در تغییر ترکیب شیمیایی ماقما و تشکیل ماقماهای گرانیت‌وئیدی و آندزیتی توسط پژوهشگران مختلف بررسی شده است [۱۱-۱]. هنگام تشکیل یک ماقمای اولیه در اثر ذوب بخشی گوشته یا بخش پایینی پوسته، طی صعود و تا سرد شدن کامل دستخوش تغییرات بسیاری می‌شود که مهمترین آن تبلور جزء به جزء، آمیختگی ماقمایی و آلایش پوسته‌ای است. آمیختگی ماقمایی ممکن است در حد اولیه و به شکل آمیختگی فیزیکی باشد یا شاید تا حد آمیختگی شیمیایی و تشکیل یک ماقمای همگن دورگه پیش رود. شناسایی فرآیندهای مختلف چون تغییر

پلازیوکلاز در بردارنده اطلاعات مهمی پیرامون فرآیندهای ماقمایی است، در این پژوهش الگوی منطقه بندی و چگونگی پراکندگی عناصر اصلی و کمیاب از مرکز به لبه بلورهای پلازیوکلاز موجود در توده گرانیتوئیدی گوشه و فرآیندهای مؤثر در تشکیل ماقمای سازنده این بلورها بررسی شد.

زمین شناسی منطقه مورد بررسی
منطقه‌ی مورد بررسی در بخش شمالی پهنه سندج-سیرجان و در جنوب شرق بروجرد قرار دارد (شکل ۱).

ترکیب پلازیوکلازها داشته باشد.

توده گرانیتوئیدی گوشه در قسمت جنوبی مجموعه گرانیتوئیدی بروجرد در پهنه سندج-سیرجان قرار دارد. مجموعه گرانیتوئیدی بروجرد و هاله دگرگونی آن پیشتر توسط پژوهشگران مختلف [۲۰-۲۷] از جنبه‌های مختلف زمین‌شناسی بررسی شده است. در بررسی توده گرانیتوئیدی گوشه، به شواهد صحراوی و سنگ‌شناسی آمیختگی ماقمایی اشاره شده است. همچنین از آنجا که الگوی منطقه‌بندی در



Legend	
Metamorphic Rocks	
(Middle Jurassic)	
Contact metamorphic	
(Upper Triassic-Lower Jurassic)	
Hamadan Phyllite	
Micaschists, Marble, Amphibolites	
Metasandstone	
Metavolcanics & tuff	
June Complex	
Boroujerd Granitoid Complex (Middle Jurassic)	
Quaternary	
Intrusive Rocks	
Symbols	
Town	Alluvium
Village	Basic dikes
Road	Gousheh granite(Late Eocene)
Railway	Monzogranite
Fault	Boroujerd Granitoid Complex (Middle Jurassic)
	Acidic dikes
	Sphene granite
	Monzogranite
	Granodiorite
	Quartzdiorite

شکل ۱ نقشه زمین‌شناسی منطقه مورد بررسی برگرفته از مرجع [۲۰] با اندکی تغییرات.

بررسی‌های صحرایی و سنگ‌نگاری

توده گرانیتوئیدی گوشه به صورت توده کوچک، مجزا و کم و بیش مدور در جنوب شرق توده اصلی بروجرد بروزد دارد (شکل ۱). بر اساس بررسی‌های سنگ‌نگاری، توده نفوذی گوشه دارای ترکیب مونزوگرانیت و گرانانودیوریت است. با توجه به بررسی‌های صحرایی، مرز بین گرانانودیوریتها و گرانیت‌ها آشکار نبوده و تشخیص و تفکیک آن‌ها از هم در صحراء مشکل است و توسط رگه‌های اسیدی (آپلیت و پگماتیت) قطع می‌شوند. این توده گرانیتوئیدی میزان برونبوم‌های ریزدانه‌ای با ترکیب گرانانودیوریت، کوارتزدیوریت و کوارترزمونزوودیوریت است (شکل ۲ الف).

واحد گرانانودیوریت: این واحد بخش عمده توده‌ی نفوذی موجود در منطقه را تشکیل می‌دهد. این سنگ‌ها در نمونه‌ی دستی بیشتر دانه‌متوسط تا دانه‌درشت هستند و اغلب به رنگ خاکستری دیده می‌شوند. آنها ترکیب کانی‌شناسی همگنی از کانی‌های کوارتز (۴۰-۲۰ درصد)، پلازیوکلاز (۵۵-۵۰ درصد)، بیوتیت (۱۵-۲۵ درصد) و فلدسپار قلیایی (۱۵-۱۰ درصد) دارند. کانی‌های فرعی این سنگ‌ها شامل آپاتیت، زیرکن و آلانیت است و یک جهت یافته‌ی ضعیف ناشی از جهت یافته‌گی کانی‌ها به ویژه بیوتیت در آن‌ها دیده می‌شود (شکل ۲ ب).

واحد مونزوگرانیت: مونزوگرانیت‌ها در نمونه‌ی دستی روش‌تر از توده‌ی اصلی هستند و مقدار بیوتیت در این سنگ‌ها کمتر است. کانی‌های اصلی تشکیل دهنده‌ی آنها شامل بیوتیت (۱۰-۵ درصد)، پلازیوکلاز (۴۵-۲۰ درصد)، کوارتز (۳۵-۳۰ درصد) و فلدسپار قلیایی (۲۵-۱۵ درصد) هستند. از ویژگی‌های بارز این سنگ‌ها وجود فلدسپار پرتیتی است که ترکیب سنگ را به سمت مونزوگرانیت سوق می‌دهد. بافت غالب این سنگ‌ها دانه‌ای تا پورفیری است ولی گاهی بافت خال خال نیز به چشم می‌خورد. پلازیوکلازها ماکل چندربیخت و منطقه‌بندی دارند و بیشتر در لبه‌ها دستخوش خوردگی و انحلال شده‌اند (شکل ۲ پ). بررسی مقاطع میکروسکوپی نشان می‌دهد که ارتوکلازها اغلب پرتیتی هستند (شکل ۲ ت). بیوتیت کانی مافیک (تیره رنگ) غالب در سنگ‌های گرانیتوئیدی منطقه است که با جهت یافته‌ی ضعیف یا بدون جهت یافته‌ی به رنگ قهوه‌ای دیده می‌شود و در برخی مقاطع، توسط کلریت جانشین شده است. توده گرانیتوئیدی گوشه میزان برونبوم‌های ریزدانه‌ای با ترکیب گرانانودیوریت، کوارتزدیوریت و کوارترزمونزوودیوریت است. این برونبوم‌ها دانه‌ریز با بافت ریزدانه‌ای هستند و اندازه بلورها از

با وجود زمین‌ساخت شدید و پیچیدگی‌های ناشی از آن در زمین‌شناسی منطقه، می‌توان ردیفی از سنگ‌ها را تشخیص داد، به طوری که قدیمی‌ترین نهشته‌های موجود در این منطقه وابسته به تریاک و شامل سنگ‌های آتش‌شانی دگرگون شده با درون لایه‌هایی از مرمره‌ای نازک تا ضخیم‌لایه بوده [۲۲] و جدیدترین نهشته‌ها آبرفت‌های عهد حاضر هستند. در این منطقه، مجموعه‌ی دگرگونی ناحیه‌ای با طیفی از شرایط رخساره شیست سبز و بیشتر شامل اسلیت و فیلیت با تنوع بافتی و کانی‌شناسی ناچیز دیده می‌شود که طی نفوذ توده‌های گرانیتوئیدی یک مجموعه‌ی دگرگونی مجاورتی شکل گرفته است [۲۴، ۲۸]. دگرگونی مجاورتی با سری شیسته‌های لکه‌دار در پهنه‌های درجه پایین شروع شده و با سری‌های دگرگونی هورنفلس‌ها و میگماتیت‌ها پایان می‌یابد. در بخش جنوبی توده به دلیلی گسله بودن، دگرگونی مجاورتی کمتر دیده می‌شود و تنها نوار باریکی از شیسته‌های کردیریت‌دار یا کردیریت هورنفلس پایان یافته با اسلیت و فیلیت وجود دارد، ولی در بخش‌های شمالی توده، بیشتر هورنفلس‌ها و میگماتیت‌های تزریقی دیده می‌شوند [۲۹، ۳۰]. مهم‌ترین رخداد زمین‌شناسی در این منطقه پیدایش مجموعه گرانیتوئیدی بروجرد در زمان ژوراسیک میانی (۱۷۰ میلیون سال پیش) و توده گرانیتوئیدی گوشه در زمان ائوسن پایانی (۳۵ میلیون سال پیش) است [۲۴]. توده گرانیتوئیدی گوشه در جنوب شرق بروجرد از توده‌های مهم منطقه است و از نظر سنگ‌شناسی، طیفی از گرانیت و گرانانودیوریت را شامل می‌شود. واحدهای مختلف سنگ‌شناسی توده‌ی گرانیتوئیدی مورد بررسی در بردارنده برونبوم‌های ریزدانه‌ای با ترکیب گرانانودیوریت تا کوارترزمونزوودیوریت هستند. این توده توسط دایک‌های اسیدی (پگماتیت‌ها و آپلیت‌ها) قطع شده است.

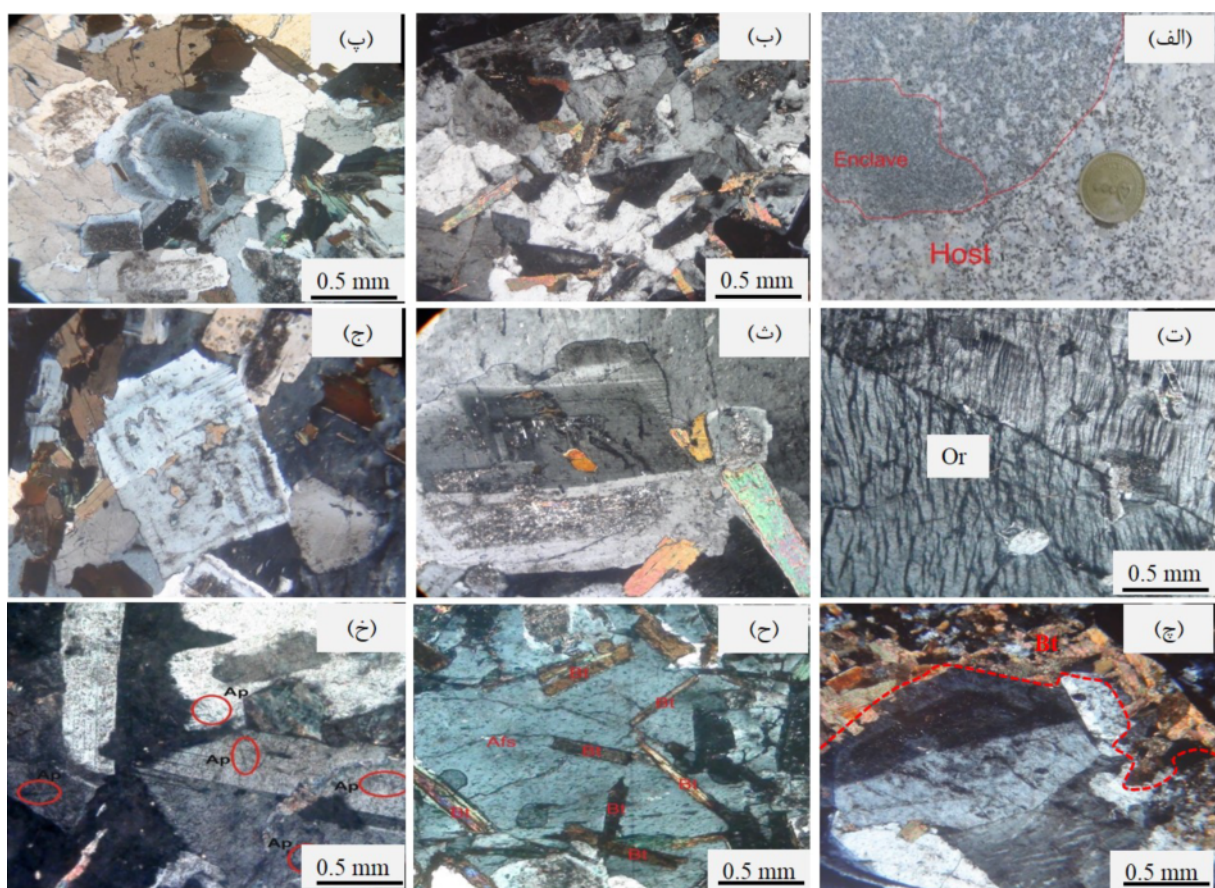
روش بررسی

پس از بازدیدهای صحرایی در منطقه مورد نظر و نمونه برداری از سنگ‌های گرانیتوئیدی برای مطالعه سنگ‌نگاری، ۵۵ مقطع نازک میکروسکوپی تهیه و در دانشگاه لرستان با میکروسکوپ قطبشی بررسی شدند. سپس برای بررسی رفتار زمین‌شیمیایی عناصر در ساختار کانی‌های فلدسپار، تعداد ۹ مقطع نازک-صیقلی تهیه شد که فلدسپارهای موجود در آنها در آزمایشگاه انجمن علوم چین با ریزپردازشگر الکترونی JEOL مدل JXA 8800R با ولتاژ شتاب دهنده ۱۵ کیلوولت، شدت جریان ۱۵ نانوآمپر و زمان شمارش ۴۰ ثانیه تجزیه شدند.

و از کناره‌ها خورده شده و انحلال یافته‌اند. در برخی مقاطع، بلورهای پلازیوکلاز سریسیتی و سوسوریتی شده‌اند و بافت غربالی با لبه انحلالی دارند (شکل ۲ ث). ارتوکلازها بیشتر در زمینه هستند و گاه به صورت درشت بلور حضور دارند. این درشت‌بلورها به صورت گرد شده و انحلال یافته در قسمت لبه‌ای برونبوم وجود دارند و دربردارنده میانبارهایی از کانی‌های پلازیوکلاز، بیوتیت و کانی‌های فرعی دیگر هستند. بیوتیتها به صورت تیغه‌ای (شکل ۲ ح) و گاهی لخته‌هایی همراه با اسفن و کانی‌هایی کدر حضور دارند (شکل ۲ چ). آپاتیت بصورت سوزنی در پلازیوکلازها دیده می‌شود (شکل ۲ خ). کوارتز در بیشتر برونبومها به صورت بی‌شکل فضای بین کانی‌های دیگر را پر می‌کند. از کانی‌های فرعی برونبومها می‌توان به آپاتیت، اسفن و زیرکن اشاره کرد.

مرکز به سمت لبه کوچک‌تر می‌شود. آنها از نظر کانی‌های سازنده، مشابه میزبان بوده ولی از نظر درصد حجمی کانی‌ها (مودال) متفاوت هستند. برونبوم‌ها دربردارنده پلازیوکلاز و کانی‌های مافیک (بیوتیت) بسیاری بوده در حالی که گرانیتوئیدهای میزبان دارای مقادیر کمتری از این کانی هستند و در عوض، کوارتز و پتاسیم فلدسپار بیشتری دارند. پلازیوکلازها به دو صورت در برونبوم‌ها دیده می‌شوند. پلازیوکلازهای کوچک با ماکل چندريخت اغلب زمینه دانه ریز سنگ را می‌سازند، در حالی که درشت بلورهای پلازیوکلاز با اختلاف اندازه قابل توجه ماکل چندريخت را نشان می‌دهند.

در نتایج سنگنگاری سنگ‌های بخش‌های مورد بررسی، شواهدی از نبود تعادل بافتی و کانی‌شناسی دیده شد (شکل ۲). پلازیوکلازها دارای منطقه بندی عادی و یا نوسانی هستند

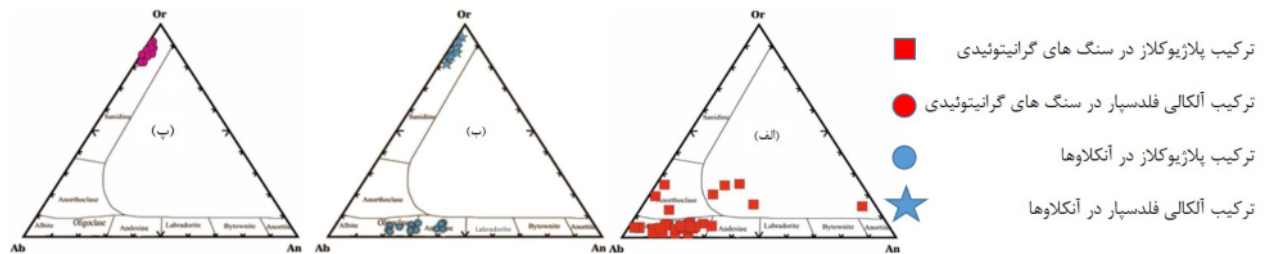


شکل ۲ تصاویر صحرایی و میکروسکوپی از توده گرانیتوئیدی گوشه: (الف) برونبوم‌های ریزدانه‌ای بیضوی شکل و زاویه‌دار، (ب) کانی‌های موجود در واحد گرانوویتی، (پ) منطقه بندی، انحلال و خورده شدگی پلازیوکلاز در واحد مونزو-گرانیتی (در نور قطبیده مقاطع، XPL)، (ت) بافت پرتیت در ارتوز (در نور XPL)، (ث) لبه انحلالی در پلازیوکلاز (در نور XPL)، (ج) میانبار کانی‌های بیوتیت، کوارتز و پلازیوکلاز در فلدسپارهای قلیایی (پرتیت) و تشکیل بافت خال خال (در نور XPL)، (چ) انباشت لخته‌های مافیک بیوتیت و کانی‌های کدر (در نور XPL)، (ح) بیوتیت‌های تیغه‌ای در درشت بلور فلدسپار (در نور XPL) و (خ) آپاتیت‌های سوزنی در پلازیوکلازها (در نور XPL). نشانه‌های اختصاری کانی‌ها (Ap: آپاتیت، Qtz: کوارتز، AfS: فلدسپار قلیایی، Bt: بیوتیت و Or: ارتوکلاز) برگرفته از مرجع [۳۱] است.

آندرزین (An: 33) در مرکز تغییر می‌کند (شکل ۳ الف). نتایج تجزیه‌های نقطه‌ای از مرکز به لبه (جدول ۱) نشان می‌دهد که پلاژیوکلازهای مورد بررسی پهنه بندی عادی و یا نوسانی دارند.

شیمی کانی فلدسپار

بر پایه نمودارهای سه تایی ارتوکلاز، آلبیت و آنورتیت (Or, Ab, An)، ترکیب پلاژیوکلازها در سنگ‌های گرانیتوئیدی در گستره ترکیبی میان اوایل آلبیت (An: 2) در لبه تا اوایل



شکل ۳ ترکیب فلدسپارهای مورد بررسی بر نمودار آنورتیت- ارتوکلاز- آلبیت (An - Or - Ab): الف) رده بندی ترکیب پلاژیوکلازها در سنگ‌های گرانیتوئیدی که در گستره ترکیبی میان اوایل آلبیت (2: An) در لبه تا اوایل آندزین (An: 33) در مرکز تغییر می‌کند، ب) ترکیب پلاژیوکلاز برونبوم‌ها در گستره به نسبت گستره‌ای از اوایل الیکوکلاز (11: An) تا اوسط آندزین (36: An) و ترکیب فلدسپار قلیایی در برونبوم با .Or = 94 - 97 و پ) ترکیب فلدسپار قلیایی در سنگ‌های گرانیتوئیدی با .Or = 96 - 99.

جدول ۱ نتایج تجزیه ریزپردازشی فلدسپارها در برونبوم‌ها و سنگ‌های گرانیتوئیدی گوشه. تعداد کاتیون‌ها برای فلدسپار بر اساس ۸ اتم اکسیژن محاسبه شده است.

نمونه	A 2-1	A 2-1 2	A 2-1 3	A 2-1	A 2-14	A 2-15	A 2-16	Agh 2-1	Agh 2-12	Agh 2-13	Agh 2-14	Agh 2-15
Na ₂ O	۰,۴۵	۰,۴۴	۰,۵۰	۰,۳۴	۰,۵۹	۰,۴۶	۰,۵۶	۱۱,۳۱	۷,۳۲	۰,۱۵	۷,۳۶	۰,۰۵
SiO ₂	۶۴,۲۶	۶۴,۶۹	۶۴,۳۴	۶۳,۹۵	۶۳,۷۹	۶۴,۱۶	۶۴,۱۳	۶۷,۴۱	۵۶,۷۴	۹۹,۰۱	۶۱,۰۳	۹۷,۷۸
BaO	۰,۱۷	۰,۲۰	۰,۱۸	۰,۲۸	۰,۱۵	۰,۱۴	۰,۱۵	۰,۰۰	۰,۰۰	۰,۰۰	۰,۰۳	۰,۰۱
K ₂ O	۱۵,۳۳	۱۵,۴۳	۱۵,۴۸	۱۵,۲۰	۱۵,۱۷	۱۵,۲۰	۱۵,۲۸	۰,۵۳	۲,۸۴	۰,۰۳	۳,۷۶	۰,۰۴
MgO	۰,۰۴	۰,۰۱	۰,۰۱	۰,۰۰	۰,۰۱	۰,۰۱	۰,۰۰	۰,۴۲	۰,۰۷	۰,۰۰	۰,۱۴	۰,۰۰
SrO	۰,۰۰	۰,۰۰	۰,۰۰	۰,۰۰	۰,۰۰	۰,۰۵	۰,۰۰	۰,۰۰	۰,۰۲	۰,۰۴	۰,۰۲	۰,۰۲
MnO	۰,۰۱	۰,۰۰	۰,۰۰	۰,۰۰	۰,۰۱	۰,۰۰	۰,۰۱	۰,۰۴	۰,۳	۰,۰۲	۰,۱۲	۰,۰۰
CaO	۰,۰۸	۰,۰۲	۰,۰۷	۰,۰۴	۰,۰۲	۰,۰۱	۰,۰۱	۰,۷۵	۰,۲۹	۰,۰۳	۰,۲۴	۰,۰۳
Al ₂ O ₃	۱۸,۰۰	۱۸,۰۴	۱۸,۱۰	۱۷,۵۸	۱۷,۸۶	۱۷,۸۸	۱۷,۷۹	۲۰,۲۷	۲۲,۳۲	۰,۲۱	۲۴,۸۹	۰,۰۳
FeO	۰,۲۸	۰,۱۰	۰,۰۶	۰,۰۱	۰,۰۵	۰,۰۵	۰,۰۱	۱,۳۲	۰,۳۳	۰,۰۰	۰,۳۷	۰,۰۰
TiO ₂	۰,۰۶	۰,۰۴	۰,۰۱	۰,۰۴	۰,۰۳	۰,۰۲	۰,۰۰	۰,۰۱	۰,۰۵	۰,۰۱	۰,۰۰	۰,۰۲
مجموع	۹۸,۶۸	۹۸,۹۶	۹۸,۷۳	۹۷,۴۳	۹۷,۶۷	۹۷,۹۷	۹۷,۹۳	۱۰۲,۰۵	۹۰,۰۱	۹۹,۵۰	۹۷,۸۴	۹۷,۹۷
Na	۰,۱۲	۰,۱۲	۰,۱۴	۰,۰۹	۰,۱۶	۰,۱۳	۰,۱۵	۲,۸۵	۲,۰۹	۰,۰۴	۱,۹۴	۰,۰۱
Si	۹,۰۱	۹,۰۴	۹,۰۲	۹,۰۷	۹,۰۳	۹,۰۴	۹,۰۵	۸,۷۷	۸,۳۷	۱۱,۹۶	۸,۳۰	۱۱,۹۹
Ba	۰,۰۱	۰,۰۱	۰,۰۱	۰,۰۲	۰,۰۱	۰,۰۱	۰,۰۱	۰,۰۰	۰,۰۰	۰,۰۰	۰,۰۰۱۵	۰,۰۰۰۵
K	۲,۷۴	۲,۷۵	۲,۷۷	۲,۷۵	۲,۷۴	۲,۷۳	۲,۷۵	۰,۰۹	۰,۵۴	۰,۰۰	۰,۶۵	۰,۰۱
Mg	۰,۰۱	۰,۰۰	۰,۰۰	۰,۰۰	۰,۰۰	۰,۰۰	۰,۰۰	۰,۰۸	۰,۰۱	۰,۰۰	۰,۱۳	۰,۰۰
Sr	۰,۰۰	۰,۰۰	۰,۰۰	۰,۰۰	۰,۰۰۰۱	۰,۰۰۰۴۳	۰,۰۰	۰,۰۰	۰,۰۰۱۸	۰,۰۰۲۶	۰,۰۰۱۳	۰,۰۰۱۱
Mn	۰,۰۰	۰,۰۰	۰,۰۰	۰,۰۰	۰,۰۰	۰,۰۰	۰,۰۰	۰,۰۰	۰,۰۰	۰,۰۰	۰,۰۰	۰,۰۰
Ca	۰,۰۱	۰,۰۰	۰,۰۱	۰,۰۱	۰,۰۰	۰,۰۰	۰,۰۰	۰,۱۰	۰,۰۵	۰,۰۰	۰,۰۴	۰,۰۰
Al	۲,۹۸	۲,۹۷	۲,۹۹	۲,۹۴	۲,۹۸	۲,۹۷	۲,۹۶	۳,۱۱	۳,۸۸	۰,۰۳	۳,۹۹	۰,۰۰
Fe	۰,۰۳	۰,۰۱	۰,۰۱	۰,۰۰	۰,۰۱	۰,۰۱	۰,۰۰	۰,۱۴	۰,۰۴	۰,۰۰	۰,۰۴	۰,۰۰
Ti	۰,۰۱	۰,۰۰	۰,۰۰	۰,۰۰	۰,۰۰	۰,۰۰	۰,۰۰	۰,۰۰	۰,۰۱	۰,۰۰	۰,۰۰	۰,۰۰
مجموع	۱۴,۹۳	۱۴,۹۱	۱۴,۹۴	۱۴,۸۸	۱۴,۹۳	۱۴,۹۰	۱۴,۹۲	۱۵,۱۵	۱۵,۰۰	۱۲,۰۴	۱۵,۰۰	۱۲,۰۲
An	۰,۴۲	۰,۰۹	۰,۳۵	۰,۱۹	۰,۰۹	۰,۰۴	۰,۰۵	۳,۴۳	۱,۷۳	۹,۵۸	۱,۳۵	۱۶,۶۱
Ab	۴,۲۴	۴,۱۸	۴,۶	۳,۲۲	۵,۶۰	۴,۴۲	۵,۲۷	۹۳,۶۹	۷۸,۲۶	۸۰,۳۹	۷۳,۸۳	۵۷,۹۶
Or	۹۵,۳۳	۹۵,۷۳	۹۴,۹۹	۹۶,۴۹	۹۴,۳۱	۹۵,۵۴	۹۴,۶۸	۲,۸۸	۲,۰۱	۱۰,۰۳	۲۴,۸۲	۲۵,۴۳

ادامه جدول ۱

نمونه	Agh 2-2	Agh 2-2 2	Agh 2-2	Agh 2-2 3	Agh 2-2 4	Agh 2-2 5	Agh 2-2 6	2-26 Agh	Agh 2-2	Agh 2-2	Agh 2-3	Mg 534-2
Na ₂ O	.۶۲	.۷۹	.۵۱	.۶۷	.۶۱	.۶۹	.۶۷	.۶۰	.۱۸	.۵۲	.۰۱	.۰۸
SiO ₂	۶۴.۴۲	۶۶.۶۸	۶۳.۹۵	۶۴.۴۹	۶۷.۳۶	۶۴.۳۶	۶۲.۷۱	۶۴.۸۰	۶۵.۹۱	۶۳.۵۱	۶۸.۸۰	۶۳.۵۰
BaO	.۰۹	.۳۸	.۵۸	.۶۱	.۱۷	.۲۳	.۱۷	.۴۲	.۳۲	.۱۴	.۰۲	.۰۱
K ₂ O	۱۵.۲۲	۱۴.۸۱	۱۵.۰۷	۱۵.۰۴	۲.۸۴	۱۵.۱۶	۱۴.۶۰	۱۵.۲۱	۱۱.۵۸	۱۵.۰۸	.۰۱	.۲۵
MgO	.۰۱	.۰۳	.۰۰	.۰۰	.۰۲	.۰۰	.۰۱	.۰۱	.۰۰	.۰۱	.۰۰	.۰۰
SrO	.۰۰	.۰۰	.۰۰	.۰۰	.۰۰	.۰۰	.۰۰	.۰۰	.۰۰	.۰۰	.۰۳	.۰۰۳۶
MnO	.۰۰	.۰۳	.۰۰	.۰۱	.۰۱	.۰۲	.۰۰	.۰۰	.۰۱	.۰۰	.۰۲	.۰۰
CaO	.۰۱	.۰۳	.۰۴	.۰۲	.۲۳	.۰۴	.۰۵	.۰۶	.۱۹	.۰۰	.۰۰	.۴۰
Al ₂ O ₃	۱۷.۵۵	۱۷.۸۱	۱۷.۸۰	۱۷.۶۶	۱۸.۸۵	۱۷.۶۰	۱۷.۰۱	۱۷.۸۴	۱۷.۱۴	۱۷.۲۷	.۰۶	۲۲.۲۵
FeO	.۰۸	.۰۹	.۰۳	.۰۷	.۰۱	.۰۸	.۰۶	.۰۶	.۰۷	.۰۰	.۰۰	.۰۷
TiO ₂	.۰۳	.۰۲	.۰۳	.۰۴	.۰۱	.۰۱	.۰۲	.۰۵	.۰۱	.۰۰	.۰۰	.۰۱
مجموع	۹۸.۳	۹۸.۶۶	۹۸.۰۰	۹۸.۵۹	۹۹.۱۱	۹۸.۱۹	۹۵.۷۷	۹۹.۰۵	۹۸.۳۹	۹۶.۵۹	۹۸.۹۵	۹۹.۵۰
Na	.۱۷	.۲۲	.۱۴	.۱۸	.۴۹	.۱۹	.۲۷	.۱۶	.۸۵	.۱۴	.۰۰	.۲۵
Si	۹.۰۸	۹.۰۶	۹.۰۴	۹.۰۶	۹.۰۰	۹.۰۶	۹.۰۵	۹.۰۵	۹.۱۴	۹.۰۸	۱۱.۹۹	۱۰.۷
Ba	.۰۰۴۷	.۰۰۲۱	.۰۰۳۱۸	.۰۰۳۳۷	.۰۰۰۹۱	.۰۰۱۲۷	.۰۰۰۹۵	.۰۰۲۲۸	.۰۰۱۷۱	.۰۰۰۷۶	.۰۰۰۰۹	.۰۰۰۵
K	۲.۷۶	۲.۶۵	۲.۷۲	۲.۷۰	.۴۸	۲.۷۲	۲.۶۹	۲.۷۱	۲.۰۵	۲.۷۵	.۰۰	.۰۶
Mg	.۰۰	.۰۱	.۰۰	.۰۰	.۰۰	.۰۰	.۰۰	.۰۰	.۰۰	.۰۰	.۰۰	.۰۰
Sr	.۰۰	.۰۰	.۰۰	.۰۰	.۰۰	.۰۰	.۰۰	.۰۰	.۰۰	.۰۰	.۰۰۲۲	.۰۰۰۲۸
Mn	.۰۰	.۰۰	.۰۰	.۰۰	.۰۰	.۰۰	.۰۰	.۰۰	.۰۰	.۰۰	.۰۰	.۰۰
Ca	.۰۰	.۰۰	.۰۱	.۰۰	.۰۰۳	.۰۰۱	.۰۰۱	.۰۰۱	.۰۰۳	.۰۰۰	.۰۰	.۰۰
Al	۲.۹۲	۲.۹۴	۲.۹۷	۲.۹۲	۲.۹۷	۲.۹۲	۲.۸۹	۲.۹۴	۲.۸۰	۲.۹۱	.۰۱	۳.۵۰
Fe	.۰۱	.۰۱	.۰۰	.۰۱	.۰۰	.۰۱	.۰۰۱	.۰۰۱	.۰۰۱	.۰۰۱	.۰۰	.۰۱
Ti	.۰۰	.۰۰	.۰۰	.۰۰	.۰۰	.۰۰	.۰۰۲	.۰۰۱	.۰۰۰	.۰۰۰	.۰۰	.۰۰
مجموع	۱۴.۹۲	۱۴.۹۰	۱۴.۹۰	۱۴.۹۱	۱۵.۰۰	۱۴.۹۳	۱۴.۹۶	۱۴.۹۱	۱۴.۹۰	۱۴.۹۱	۱۲.۰۱	۱۴.۹۹
An	.۰۶	.۱۶	.۲۲	.۰۸	.۱۰	.۱۰	.۱۹	.۲۸	.۱۹	.۰۰	.۰۰	.۱۹.۹۷
Ab	۵.۷۸	۷.۵۱	۴.۸۴	۶.۳۱	۱۲.۸۰	۶.۴۳	۹.۱۲	۵.۸۷	۲۹.۱۴	۴.۹۹	۶۶.۱۵	۷۸.۰۵
Or	۹۴.۱۶	۹۲.۳۳	۹۴.۹۴	۹۳.۶۱	۱۶.۱۰	۹۳.۳۸	۹۰.۸۰	۹۴.۰۴	۹۹.۹۰	۹۵.۰۱	۳۳.۸۵	۱۹.۹۷

ادامه جدول ۱

نمونه	Agh 2-32	Agh 2-33	Agh 2-3	Agh 2-34	Gosh 4-1	Gosh 4-1	Gosh 4-1 2	Gosh 4-13	Gosh 4-14	Gosh 4-2	Gosh 4-25	Mg 534-26
Na ₂ O	.۰۰	.۰۸	.۰۲	.۰۶	.۰۲	.۰۱۴	.۰۱	.۹۹	.۱۰۰	.۸۹۸	.۸۹۷	.۰۶
SiO ₂	۹۹.۹۰	۹۸.۱۶	۹۸.۹۱	۹۹.۲۷	۶۱.۷۸	۶۳.۰۷	۹۹.۱۲	۶۵.۳۹	۶۵.۴۹	۶۳.۳۱	۶۳.۱۰	۶۳.۸۱
BaO	.۰۰	.۰۱	.۰۰	.۰۰	.۰۴	.۰۰۵	.۰۰۵	.۰۰۶	.۰۰۰	.۰۰۷	.۰۰۸	.۰۰
K ₂ O	.۰۱	.۰۵	.۰۲	.۰۳	.۰۵۲	.۰۱۳	.۰۰	.۰۱۲	.۰۳۸	.۰۳۲	.۰۲۳	.۰۳۷
MgO	.۰۰	.۰۰	.۰۱	.۰۰	.۰۰	.۰۱	.۰۰	.۰۰	.۰۰۰	.۰۰۱	.۰۰۰	.۰۰
SrO	.۰۰۵	.۰۰۵	.۰۶	.۰۶	.۰۰۷	.۰۰۸	.۰۰۴	.۰۰۰	.۰۰۶	.۰۰۳	.۰۰۷	.۰۰۰
MnO	.۰۰	.۰۱	.۰۰	.۰۳	.۰۱	.۰۰	.۰۰	.۰۰	.۰۰۱	.۰۰۲	.۰۰۱	.۰۰۱
CaO	.۰۳	.۰۴	.۰۲	.۰۷	۵.۸۸	۴.۴۴	.۰۰۵	۳.۱۱	۲.۷۸	۴.۴۳	۴.۳۸	۳.۹۸
Al ₂ O ₃	.۰۰	.۰۵	.۰۰	.۰۱	۲۴.۰۵	۲۲.۶۳	.۰۱۴	۲۱.۷۶	۲۱.۲۹	۲۲.۳۴	۲۲.۱۲	۲۲.۰۷
FeO	.۰۲	.۰۲	.۰۲	.۰۰	.۰۰۸	.۰۰۲	.۰۰۰	.۰۰۴	.۰۰۷	.۰۰۵	.۰۲۲	.۰۰۷
TiO ₂	.۰۰	.۰۱	.۰۱	.۰۰	.۰۰	.۰۰۰	.۰۰۲	.۰۰۰	.۰۰۴	.۰۰۱	.۰۰۴	.۰۰۰
مجموع	۱۰۰.۰۲	۹۸.۴۷	۹۹.۰۸	۹۹.۰۲	۱۰۰.۴۵	۹۹.۵۷	۹۹.۰۲	۱۰۰.۴۶	۱۰۰.۱۱	۹۹.۵۷	۹۹.۱۵	۹۹.۳۸
Na	.۰۰	.۰۲	.۰۱	.۰۱	.۰۰۷	.۰۰۲	.۰۰۲	.۰۵۴	.۰۵۶	.۰۳۲	.۰۲۲	.۰۳۴
Si	۱۱.۹۹	۱۱.۹۸	۱۱.۹۹	۱۱.۹۹	۸.۲۱	۸.۴۱	۱۱.۹۷	۸.۶۰	۸.۶۵	۸.۴۵	۸.۴۶	۸.۵۱
Ba	.۰۰	.۰۰۰۵	.۰۰	.۰۰۰۱	.۰۰۰	.۰۰۰	.۰۰۰	.۰۰۰	.۰۰۰	.۰۰۰	.۰۰۰	.۰۰۰
K	.۰۰	.۰۱	.۰۰	.۰۱	.۰۰۹	.۰۰۲	.۰۰۰	.۰۰۲	.۰۰۶	.۰۰۵	.۰۰۴	.۰۰۶
Mg	.۰۰	.۰۰	.۰۰	.۰۰	.۰۰	.۰۰۰۲۲	.۰۰۰	.۰۰۰	.۰۰۰	.۰۰۰۱۲	.۰۰۰۰۳	.۰۰۰
Sr	.۰۰۰۳۸	.۰۰۰۳۸	.۰۰۰۴۵	.۰۰۰۳۹	.۰۰۰۵۱	.۰۰۰۶۲	.۰۰۰۰۲۷	.۰۰۰	.۰۰۰۴۶	.۰۰۰۱۹	.۰۰۰۵۱	.۰۰۰
Mn	.۰۰	.۰۰	.۰۰	.۰۰	.۰۰	.۰۰۰	.۰۰۰	.۰۰۰	.۰۰۰	.۰۰۰	.۰۰۰	.۰۰۰
Ca	.۰۰	.۰۰	.۰۰	.۰۰۱	.۰۰۴	.۰۰۳	.۰۰۱	.۰۰۴	.۰۰۹	.۰۶۳	.۰۶۳	.۰۵۷
Al	.۰۰	.۰۱	.۰۰	.۰۰	۳.۷۷	۳.۵۶	.۰۰۲	۳.۳۸	۳.۳۱	۳.۵۱	۳.۴۹	۳.۴۷
Fe	.۰۰	.۰۰	.۰۰	.۰۰	.۰۰۱	.۰۰۰	.۰۰۰	.۰۰۰	.۰۰۱	.۰۰۱	.۰۰۲	.۰۰۱
Ti	.۰۰	.۰۰	.۰۰	.۰۰	.۰۰	.۰۰۰	.۰۰۰	.۰۰۰	.۰۰۰	.۰۰۰	.۰۰۰	.۰۰۰
مجموع	۱۲.۰۱	۱۲.۰۳	۱۲.۰۱	۱۲.۰۲	۱۴.۹۸	۱۵.۰۰	۱۲.۰۳	۱۴.۹۹	۱۵.۰۰	۱۴.۹۹	۱۴.۹۷	۱۴.۹۶
An	۸۰.۴۸	۱۵.۵۲	۲۳.۰۶	۳۳.۰۵	۲۸.۰۰	۲۱.۰۱	۲۱.۳۱	۱۴.۶۳	۱۳.۰۶	۲۱.۰۱	۲۱.۰۶	۱۹.۱۲
Ab	۴.۵۵	۶۰.۸۶	۵۱.۰۱	۴۷.۸۴	۶۹.۰۶	۷۸.۲۸	۷۸.۸۹	۸۴.۷۰	۸۴.۸۵	۷۷.۱۶	۷۷.۶۴	۷۸.۷۸
Or	۱۴.۷۷	۲۲.۶۲	۲۵.۹۳	۱۹.۱۱	۲۷.۹۴	.۰۰۷۲	.۰۰۰	.۰۶۸	۲.۰۹	۱.۸۳	۱.۸۰	۲.۰۹

ادامه جدول ۱

نمونه	Gosh 4-26	Gosh 4-2	Gosh 4-22	Gosh 4-23	Gosh 4-2 4	Gosh 4-3	Gosh 4-35	Gosh 4-36	Gosh 4-3	Gosh 4-3	Gosh 4-32	Mg 534-25	Mg 534-2
Na ₂ O	۹,۱۲	۹,۰۸	۸,۷۰	۸,۸۸	۱۰,۲۴	۹,۵۸	۹,۹۷	۹,۷۰	۹,۸۲	۹,۶۳	۹,۶۴	۸,۲۸	۸,۹۰
SiO ₂	۶۲,۲۶	۶۲,۴۹	۶۲,۵۴	۶۲,۲۰	۶۶,۹۸	۶۴,۳۵	۶۵,۲۲	۶۴,۷۴	۶۵,۱۳	۶۵,۱۶	۶۴,۸۶	۶۱,۷۷	۶۳,۷۵
BaO	۰,۰۰	۰,۰۰	۰,۰۰	۰,۰۰	۰,۰۱	۰,۰۴	۰,۰۰	۰,۰۰	۰,۰۱	۰,۰۰	۰,۰۰	۰,۰۶	۰,۰۶
K ₂ O	۰,۱۹	۰,۲۹	۰,۳۲	۰,۱۷	۰,۱۶	۰,۱۱	۰,۱۴	۰,۱۶	۰,۱۶	۰,۲۶	۰,۲۱	۰,۳۳	۰,۳۶
MgO	۰,۰۰	۰,۰۰	۰,۰۰	۰,۰۰	۰,۰۱	۰,۰۰	۰,۰۰	۰,۰۰	۰,۰۱	۰,۰۰	۰,۰۰	۰,۰۰۲	۰,۰۰۸
SrO	۰,۰۵	۰,۰۳	۰,۰۵	۰,۰۱	۰,۰۰	۰,۰۵	۰,۰۵	۰,۰۵	۰,۰۷	۰,۰۰	۰,۰۸	۰,۰۹	۰,۰۱
MnO	۰,۰۰	۰,۰۰	۰,۰۰	۰,۰۰	۰,۰۰	۰,۰۱	۰,۰۴	۰,۰۲	۰,۰۲	۰,۰۰	۰,۰۰	۰,۰۱۶	۰,۰۰
CaO	۴,۵۱	۴,۵۴	۴,۵۶	۴,۷۹	۱,۹۸	۳,۸۵	۲,۷۱	۳,۶۱	۳,۳۵	۳,۲۸	۳,۴۷	۵,۲۶	۴,۰۲
Al ₂ O ₃	۲۲,۳۱	۲۲,۷۳	۲۲,۶۴	۲۲,۱۰	۲۰,۲۵	۲۱,۹۹	۲۱,۰۹	۲۲,۰۸	۲۱,۷۵	۲۱,۷۶	۲۱,۹۱	۲۳,۰۲	۲۲,۲۱
FeO	۰,۰۶	۰,۰۴	۰,۰۳	۰,۰۲	۰,۰۲	۰,۰۱	۰,۰۴	۰,۰۳	۰,۰۲	۰,۰۶	۰,۰۲	۰,۰۹	۰,۰۴
TiO ₂	۰,۰۰	۰,۰۱	۰,۰۰	۰,۰۲	۰,۰۱	۰,۰۲	۰,۰۱	۰,۰۰	۰,۰۱	۰,۰۰	۰,۰۰	۰,۰۰	۰,۰۲
مجموع	۹۹,۵۱	۱۰۰,۲۱	۹۸,۸۵	۱۰۰,۱۹	۹۹,۶۶	۹۹,۷۹	۹۹,۷۶	۱۰۰,۴۰	۱۰۰,۳۲	۱۰۰,۱۶	۱۰۰,۱۹	۹۸,۹۱	۹۹,۳۸
Na	۲,۳۶	۲,۳۳	۲,۲۷	۲,۲۸	۲,۶۲	۲,۴۶	۲,۵۷	۲,۴۸	۲,۵۱	۲,۴۶	۲,۴۷	۲,۱۶	۲,۳۰
Si	۸,۴۴	۸,۴۱	۸,۴۰	۸,۳۷	۸,۸۳	۸,۵۴	۸,۶۷	۸,۵۴	۸,۵۹	۸,۶۰	۸,۵۷	۸,۳۲	۸,۵۰
Ba	۰,۰۰	۰,۰۰	۰,۰۰	۰,۰۰	۰,۰۰	۰,۰۰	۰,۰۰	۰,۰۰	۰,۰۰	۰,۰۰	۰,۰۰	۰,۰۰۳	۰,۰۰۳
K	۰,۰۳	۰,۰۵	۰,۰۶	۰,۰۳	۰,۰۳	۰,۰۲	۰,۰۲	۰,۰۳	۰,۰۳	۰,۰۴	۰,۰۳	۰,۰۶	۰,۰۶
Mg	۰,۰۰۰۸	۰,۰۰	۰,۰۰	۰,۰۰	۰,۰۰۰۹	۰,۰۰	۰,۰۰	۰,۰۰	۰,۰۰	۰,۰۰۱۴	۰,۰۰	۰,۰۰۰۳	۰,۰۰۱۶
Sr	۰,۰۰۰۳۷	۰,۰۰۰۲۶	۰,۰۰۰۴۱	۰,۰۰۰۱	۰,۰۰۰۰۲	۰,۰۰۰۳۵	۰,۰۰۰۳۷	۰,۰۰۰۳۹	۰,۰۰۰۵۲	۰,۰۰۰۰۲	۰,۰۰۰۶۲	۰,۰۰۰۰۸	
Mn	۰,۰۰	۰,۰۰	۰,۰۰	۰,۰۰	۰,۰۰	۰,۰۰	۰,۰۰	۰,۰۰	۰,۰۰	۰,۰۰	۰,۰۰	۰,۰۰	۰,۰۰
Ca	۰,۶۵	۰,۶۵	۰,۶۶	۰,۶۸	۰,۲۸	۰,۵۲	۰,۳۹	۰,۵۱	۰,۴۷	۰,۴۶	۰,۴۹	۰,۷۶	۰,۵۷
Al	۳,۵۱	۳,۵۵	۳,۵۸	۳,۶۱	۲,۱۵	۳,۴۴	۳,۳۰	۳,۴۳	۳,۳۸	۳,۳۸	۳,۴۱	۳,۶۵	۳,۴۹
Fe	۰,۰۱	۰,۰۰	۰,۰۰	۰,۰۰	۰,۰۰	۰,۰۰	۰,۰۰	۰,۰۰	۰,۰۰	۰,۰۱	۰,۰۰	۰,۰۰	
Ti	۰,۰۰	۰,۰۰	۰,۰۰	۰,۰۰	۰,۰۰	۰,۰۰	۰,۰۰	۰,۰۰	۰,۰۰	۰,۰۰	۰,۰۰	۰,۰۰	
مجموع	۱۵,۰۰	۱۵,۰۰	۱۴,۹۷	۱۴,۹۸	۱۴,۹۱	۱۴,۹۸	۱۴,۹۷	۱۵,۰۰	۱۴,۹۹	۱۴,۹۶	۱۴,۹۸	۱۴,۹۷	۱۴,۹۴
An	۲۱,۲۴	۲۱,۳۱	۲۲,۰۵	۲۲,۷۵	۹,۵۴	۱۷,۲۹	۱۲,۹۶	۱۶,۹۰	۱۵,۷۱	۱۵,۵۹	۱۶,۴۱	۲۵,۴۹	۱۹,۵۴
Ab	۷۷,۷۱	۷۷,۰۸	۷۶,۰۹	۷۶,۳۱	۸۹,۵۴	۸۲,۰۹	۸۲,۲۲	۸۲,۲۴	۸۲,۴۰	۸۲,۹۵	۸۲,۴۳	۷۲,۶۰	
Or	۱,۰۵	۱,۶۲	۱,۱۸	۰,۹۳	۰,۹۲	۰,۶۳	۰,۸۱	۰,۸۶	۰,۸۹	۱,۶۶	۱,۱۶	۱,۹۲	

ادامه جدول ۱

نمونه	Gosh 4-3 ۳	Gosh 4-4	Gosh 4-4 ۴	Gosh 4-4 ۵	gosh 4-4	gosh 4-4	Gosh 4-4 ۲	Gosh 4-4 ۳	Gosh 4-5	Gosh 4-5	Gosh 4-5 ۴	Mg 534-2	Mg 534-22
Na ₂ O	۹,۴۵	۱۰,۴۶	۱۰,۰۶	۸,۸۶	۸,۸۷	۸,۹۵	۸,۷۷	۸,۸۲	۱۰,۰۹	۹,۵۱	۹,۰۰	۹,۷۳	۹,۲۵
SiO ₂	۶۶,۴۸	۶۷,۴۲	۶۵,۶۳	۶۳,۵۲	۶۲,۴۴	۶۲,۳۹	۶۲,۹۱	۶۶,۶۹	۶۴,۸۹	۶۳,۹۶	۶۵,۱۰	۶۴,۱۹	
BaO	۰,۰۰	۰,۰۰	۰,۰۰	۰,۰۰	۰,۰۰	۰,۰۰	۰,۰۰	۰,۰۰	۰,۰۰	۰,۰۵	۰,۰۲	۰,۰۰	۰,۰۱
K ₂ O	۰,۲۹	۰,۰۹	۰,۱۵	۰,۴۷	۰,۳۰	۰,۲۷	۰,۲۳	۰,۲۴	۰,۱۴	۰,۳۰	۰,۴۱	۰,۵۲	۰,۴۱
MgO	۰,۰۱	۰,۰۱	۰,۰۰	۰,۰۰	۰,۰۱	۰,۰۰	۰,۰۰	۰,۰۰	۰,۰۰	۰,۰۰	۰,۰۰	۰,۰۱۸	۰,۰۰
SrO	۰,۰۶	۰,۰۶	۰,۰۳	۰,۰۵	۰,۰۹	۰,۰۸	۰,۰۹	۰,۰۵	۰,۰۳	۰,۰۳	۰,۰۵	۰,۰۵۵	۰,۰۴۹
MnO	۰,۰۱	۰,۰۰	۰,۰۳	۰,۰۰	۰,۰۱	۰,۰۰	۰,۰۲	۰,۰۱	۰,۰۰	۰,۰۰	۰,۰۱	۰,۰۰	
CaO	۳,۶۸	۲,۰۵	۲,۸۰	۴,۶۵	۴,۸۲	۴,۵۶	۴,۸۶	۴,۸۲	۲,۴۶	۳,۵۹	۴,۱۰	۲,۶۵	۳,۶۰
Al ₂ O ₃	۲۲,۰۶	۲۰,۴۴	۲۱,۱۷	۲۳,۰۰	۲۲,۷۳	۲۲,۶۷	۲۳,۰۲	۲۲,۹۵	۲۱,۱۲	۲۲,۰۳	۲۲,۴۶	۲۱,۱۴	۲۱,۸۵
FeO	۰,۰۳	۰,۰۲	۰,۰۷	۰,۰۵	۰,۰۸	۰,۰۸	۰,۰۳	۰,۰۴	۰,۱۱	۰,۰۵	۰,۰۹	۰,۰۸	۰,۰۷
TiO ₂	۰,۰۰	۰,۰۰	۰,۰۰	۰,۰۰	۰,۰۰	۰,۰۱	۰,۰۱	۰,۰۱	۰,۰۰	۰,۰۰	۰,۰۱	۰,۰۰	
مجموع	۱۰۰,۰۶	۱۰۰,۵۴	۹۹,۹۴	۱۰۰,۰۰	۹۹,۱۵	۱۰۰,۰۳	۹۹,۵۲	۹۹,۸۸	۱۰۰,۰۷	۱۰۰,۴۵	۹۹,۸۷	۹۹,۷۹	۹۹,۴۶
Na	۲,۴۳	۲,۶۵	۲,۵۸	۲,۷۷	۲,۲۵	۲,۳۱	۲,۲۷	۲,۲۷	۲,۰۶	۲,۴۳	۲,۷۲	۲,۵۱	۲,۳۹
Si	۸,۴۳	۸,۸۲	۸,۸۷	۸,۳۹	۸,۳۷	۸,۴۲	۸,۳۵	۸,۳۷	۸,۳۷	۸,۰۵	۸,۴۹	۸,۶۷	۸,۰۵
Ba	۰,۰۰	۰,۰۰	۰,۰۰	۰,۰۰	۰,۰۰	۰,۰۰	۰,۰۰	۰,۰۰	۰,۰۰	۰,۰۰	۰,۰۰	۰,۰۰۰۴	
K	۰,۰۵	۰,۰۱	۰,۰۲	۰,۰۸	۰,۰۵	۰,۰۴	۰,۰۴	۰,۰۲	۰,۰۵	۰,۰۷	۰,۰۹	۰,۰۷	
Mg	۰,۰۰۱۴	۰,۰۰۱۴	۰,۰۰	۰,۰۰۰۱	۰,۰۰۱۲	۰,۰۰۰۰۵	۰,۰۰	۰,۰۰	۰,۰۰	۰,۰۰	۰,۰۰	۰,۰۰۳۶	۰,۰۰
Sr	۰,۰۰۴۹	۰,۰۰۴۲	۰,۰۰۲۵	۰,۰۰۳۸	۰,۰۰۰۷	۰,۰۰۶۴	۰,۰۰۰۷۳	۰,۰۰۰۴۱	۰,۰۰۰۲۶	۰,۰۰۰۲۶	۰,۰۰۰۴۳	۰,۰۰۰۴۳	۰,۰۰۰۳۸
Mn	۰,۰۰	۰,۰۰	۰,۰۰	۰,۰۰	۰,۰۰	۰,۰۰	۰,۰۰	۰,۰۰	۰,۰۰	۰,۰۰	۰,۰۰	۰,۰۰	
Ca	۰,۵۲	۰,۲۹	۰,۴۰	۰,۶۶	۰,۶۹	۰,۶۵	۰,۷۰	۰,۶۹	۰,۳۵	۰,۵۱	۰,۵۸	۰,۳۸	۰,۵۱
Al	۳,۴۴	۲,۱۵	۲,۲۰	۳,۵۸	۲,۵۹	۳,۵۵	۲,۳	۳,۶۰	۳,۴۲	۳,۴۲	۳,۴۸	۳,۴۲	۳,۴۳
Fe	۰,۰۰	۰,۰۰	۰,۰۱	۰,۰۱	۰,۰۱	۰,۰۱	۰,۰۰	۰,۰۰	۰,۰۱	۰,۰۱	۰,۰۱	۰,۰۱	۰,۰۱
Ti	۰,۰۰	۰,۰۰	۰,۰۰	۰,۰۰	۰,۰۰	۰,۰۰	۰,۰۰	۰,۰۰	۰,۰۰	۰,۰۰	۰,۰۰	۰,۰۰	
مجموع	۱۴,۹۸	۱۴,۹۴	۱۴,۹۸	۱۴,۹۹	۱۴,۹۸	۱۴,۹۸	۱۴,۹۹	۱۴,۹۹	۱۴,۹۳	۱۴,۹۷	۱۴,۹۶	۱۴,۹۸	۱۴,۹۶
An	۱۷,۷۱	۹,۷۲	۱۳,۲۳	۲۱,۸۷	۲۳,۱۰	۲۱,۶۴	۲۲,۱۳	۲۲,۸۸	۱۱,۷۸	۱۶,۹۷	۱۹,۶۳	۱۲,۷۰	۱۷,۲۸
Ab	۸,۰۵	۸,۹۷	۸,۵۶	۷۵,۴۷	۷۵,۱۷	۷۶,۸۲	۷۵,۰۵	۷۵,۷۵	۸۷,۴۰	۸۱,۳۶	۷۸,۰۲		
Or	۱,۶۳	۰,۴۹	۰,۸۲	۲,۶۵	۱,۷۳	۱,۵۴	۱,۳۲	۱,۳۷	۰,۸۲	۱,۶۷	۲,۲۵		

ادامه جدول ۱

نمونه	Gosh 4-5	Gosh 4-5	Gosh 4-5-2	Gosh 4-5	Mg 534-1	Mg 534-1-3	Mg 534-1-4	Mg 534-1	Mg 534-12	Mg 534-13	Mg 534-14	Mg 534-2-3
Na ₂ O	۹,۱۱	۹,۳۹	۱۰,۲۴	۱۰,۴۰	۷,۵۵	۸,۲۱	۸,۳۶	۷,۹۷	۹,۳۲	۹,۱۰	۹,۱۵	۹,۸۱
SiO ₂	۶۳,۹۵	۶۴,۴۱	۶۵,۷۲	۶۵,۹۵	۶۰,۵۷	۶۱,۶۹	۶۲,۰۵	۱,۲۶	۶۳,۹۱	۶۳,۲۷	۶۳,۶۹	۶۵,۲۵
BaO	۰,۰۰	۰,۰۰	۰,۰۰	۰,۰۳	۰,۰۰	۰,۰۴	۰,۰۶	۰,۰۴	۰,۰۲	۰,۰۱	۰,۰۰	۰,۰۰
K ₂ O	۰,۳۴	۰,۲۱	۰,۲۱	۰,۱۱	۰,۳۰	۰,۴۳	۰,۳۵	۰,۳۲	۰,۲۴	۰,۱۸	۰,۱۸	۰,۳۱
MgO	۰,۰۱	۰,۰۰	۰,۰۱	۰,۰۰	۰,۰۰	۰,۰۰	۰,۰۰	۰,۰۰	۰,۰۰	۰,۰۰۷	۰,۰۰۶	۰,۰۱۱
SrO	۰,۰۵	۰,۰۴	۰,۱۱	۰,۱۰	۰,۰۹۷	۰,۱۱۳	۰,۱۰۱	۰,۱۳۷	۰,۰۵۴	۰,۰۵۶	۰,۰۶۸	۰,۰۱۶
MnO	۰,۰۳	۰,۰۰	۰,۰۰	۰,۰۱	۰,۰۰۹	۰,۰۰۲	۰,۰۰	۰,۰۰	۰,۰۱۱	۰,۰۷	۰,۰۲	۰,۰۰
CaO	۴۰,۸	۳۷,۸	۱,۵۸	۱,۷۹	۶,۷۶	۵,۵۰	۵,۴۸	۵,۸۶	۴,۰۶	۴,۰۶	۴,۲۲	۲,۷۵
Al ₂ O ₃	۲۲,۲۶	۲۲,۱۶	۲۰,۴۴	۲۰,۴۰	۲۴,۵۸	۲۳,۵۰	۲۲,۴۹	۲۳,۷۱	۲۲,۲۲	۲۲,۰۶	۲۲,۴۷	۲۱,۴۹
FeO	۰,۰۸	۰,۰۳	۰,۰۱	۰,۰۱	۰,۰۹	۰,۱۲	۰,۱۲	۰,۱۴	۰,۰۵	۰,۰۵	۰,۰۴	۰,۰۴
TiO ₂	۰,۰۱	۰,۰۳	۰,۰۱	۰,۰۲	۰,۰۰	۰,۰۰	۰,۰۲	۰,۰۰	۰,۰۳	۰,۰۲	۰,۰۰	۰,۰۰
مجموع	۹۹,۹۱	۱۰۰,۱۰	۹۸,۴۴	۹۸,۸۲	۹۹,۹۶	۹۹,۶۰	۱۰۰,۰۳	۹۹,۴۴	۹۹,۹۲	۹۸,۸۳	۹۹,۹۳	۹۹,۶۸
Na	۲۳۴	۲۴۱	۲۶۸	۲۶۹	۱,۹۶	۲,۱۳	۲,۱۶	۲,۰۷	۲,۴۰	۲,۳۷	۲,۲۵	۲,۵۲
Si	۸,۴۹	۸,۵۲	۸,۷۹	۸,۷۹	۸,۱۰	۸,۲۶	۸,۲۷	۸,۲۲	۸,۴۸	۸,۴۹	۸,۴۵	۸,۶۴
Ba	۰,۰۰	۰,۰۰	۰,۰۰	۰,۰۰	۰,۰۰	۰,۰۰۲۳	۰,۰۰۳	۰,۰۰۲	۰,۰۰۱	۰,۰۰۰۷	۰,۰۰	۰,۰۰
K	۰,۰۶	۰,۰۴	۰,۰۴	۰,۰۲	۰,۰۵	۰,۰۷	۰,۰۶	۰,۰۶	۰,۰۴	۰,۰۳	۰,۰۳	۰,۰۵
Mg	۰,۰۰۲۱	۰,۰۰۰۴	۰,۰۰۲۴	۰,۰۰	۰,۰۰	۰,۰۰	۰,۰۰	۰,۰۰	۰,۰۰	۰,۰۰۱۴	۰,۰۰۱۳	۰,۰۰۲۲
Sr	۰,۰۰۳۹	۰,۰۰۲۷	۰,۰۰۸۲	۰,۰۰۷۷	۰,۰۰۷۵	۰,۰۰۸۸	۰,۰۰۷۸	۰,۰۱۰۶	۰,۰۰۴۱	۰,۰۰۴۳	۰,۰۰۵۳	۰,۰۰۱۲
Mn	۰,۰۰	۰,۰۰	۰,۰۰	۰,۰۰	۰,۰۰	۰,۰۰	۰,۰۰	۰,۰۰	۰,۰۰	۰,۰۰	۰,۰۰	۰,۰۰
Ca	۰,۵۸	۰,۵۴	۰,۲۳	۰,۲۶	۰,۹۷	۰,۷۹	۰,۷۸	۰,۸۴	۰,۵۸	۰,۵۸	۰,۶۱	۰,۳۹
Al	۲,۴۸	۳,۴۶	۳,۲۲	۳,۲۰	۳,۸۷	۳,۷۱	۳,۶۹	۳,۷۵	۳,۴۸	۳,۴۹	۳,۵۲	۲,۳۵
Fe	۰,۱	۰,۰۰	۰,۰۰	۰,۰۰	۰,۰۱	۰,۰۱	۰,۰۱	۰,۰۲	۰,۰۱	۰,۰۱	۰,۰۰	۰,۰۰
Ti	۰,۰۰	۰,۰۰	۰,۰۰	۰,۰۰	۰,۰۰	۰,۰۰	۰,۰۰	۰,۰۰	۰,۰۰	۰,۰۰	۰,۰۰	۰,۰۰
مجموع	۱۴,۹۷	۱۴,۹۷	۱۴,۹۶	۱۴,۹۶	۱۴,۹۷	۱۴,۹۷	۱۴,۹۹	۱۴,۹۷	۱۴,۹۹	۱۴,۹۷	۱۴,۹۸	۱۴,۹۷
An	۱۹,۴۷	۱۸,۲۰	۷,۶۸	۸,۶۴	۲۲,۵۴	۲۶,۳۷	۲۶,۰۸	۲۸,۲۵	۱۹,۱۵	۱۹,۵۹	۲۰,۴۸	۱۳,۱۸
Ab	۷۸,۶۲	۸۰,۲	۹۱,۱۰	۹۰,۷۴	۶۵,۷۶	۷۱,۱۹	۷۱,۹۵	۶۹,۸۰	۷۹,۴۸	۷۹,۳۹	۷۸,۴۸	
Or	۱,۹۱	۱,۱۸	۱,۲۲	۰,۶۱	۱,۷۰	۲,۴۴	۱,۹۷	۱,۸۵	۱,۳۷	۱,۰۳	۱,۰۴	

بحث

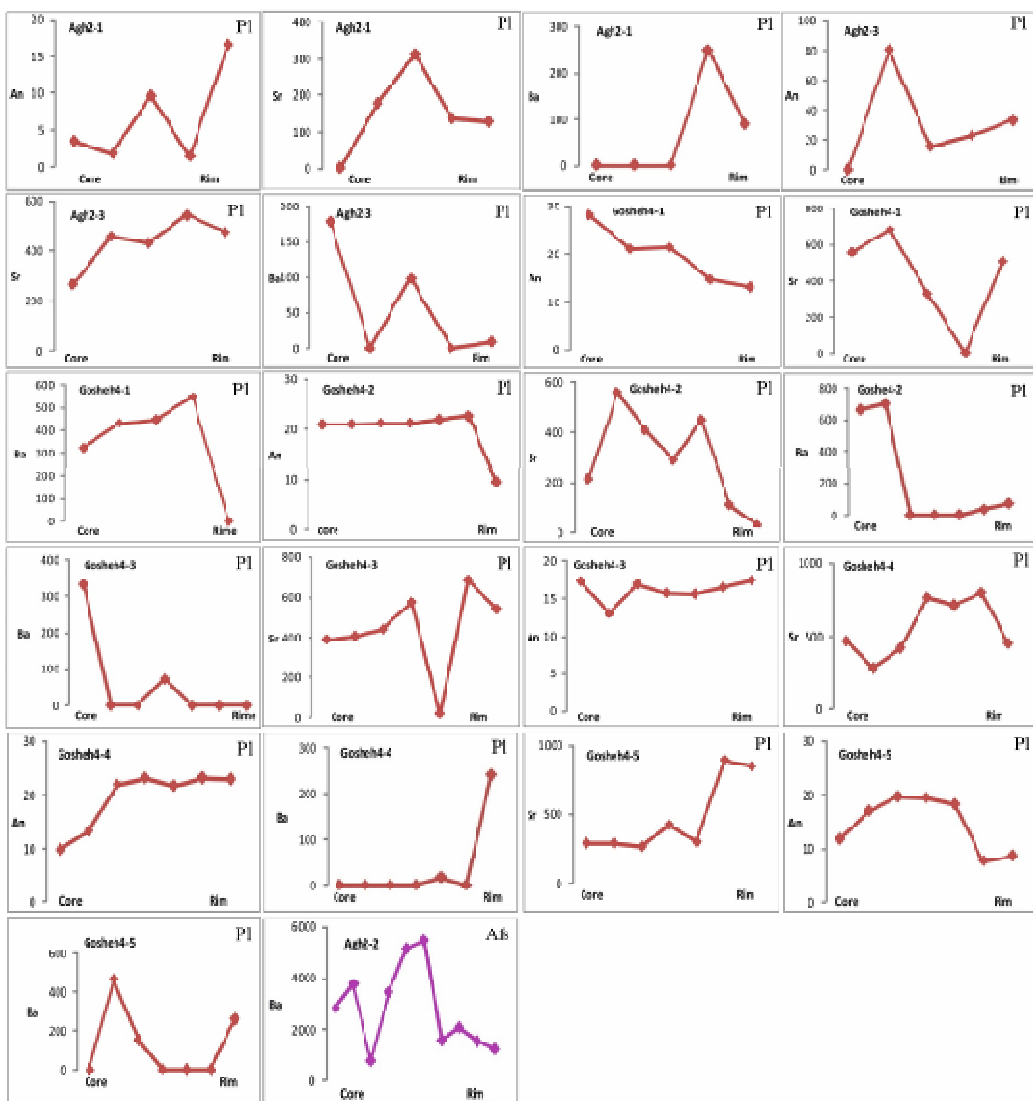
منطقه بندی در پلازیوکلاز

در الگوی تغییرات مقدار آنورتیت پلازیوکلازها، منطقه بندی نوسانی و تغییرات قابل توجهی در ترکیب بلورها دیده می‌شود. از آنجا که ترکیب کانی‌ها در تعادل با مذاب به عواملی چون فشار، دما، مقدار آب و ترکیب شیمیایی بستگی دارد، می‌توان به کمک منطقه بندی تا حدی شرایط تبلور بلور را بازسازی کرد [۳۲]. کاهش مقدار آنورتیت پلازیوکلاز از مرکز به لبه با جدایش بلوری همخوانی دارد [۳۳]، ولی این روند در نمونه‌های مورد بررسی با هم همانگی ندارد و متغیر است. برخی از پژوهشگران منطقه بندی نوسانی را نشانه تغییر ترکیب جزئی ماقما طی رشد بلور [۳۴] و نشانه‌ای از آمیختگی ماقمایی می‌دانند [۳۵] و یا منطقه بندی وارون را نشانه نبود تعادل میان بلور با ماقما در اثر فرآیندهای مانند آمیختگی ماقمایی و یا تغییر فشار بخار آب طی تبلور پلازیوکلازها در نظر می‌گیرند [۳۶]. به باور جینیبر و همکاران [۳۳]، مقدار آنورتیت (X_{An}) بیشتر در برخی نواحی را می‌توان نشانگر حضور ترکیبات ماقمیکتر و یا مقدار آب بیشتر در نظر گرفت. پژوهش‌های جدید نشان می‌دهد که X_{An} توسط ترکیب مذاب، فشار، مقدار آب و

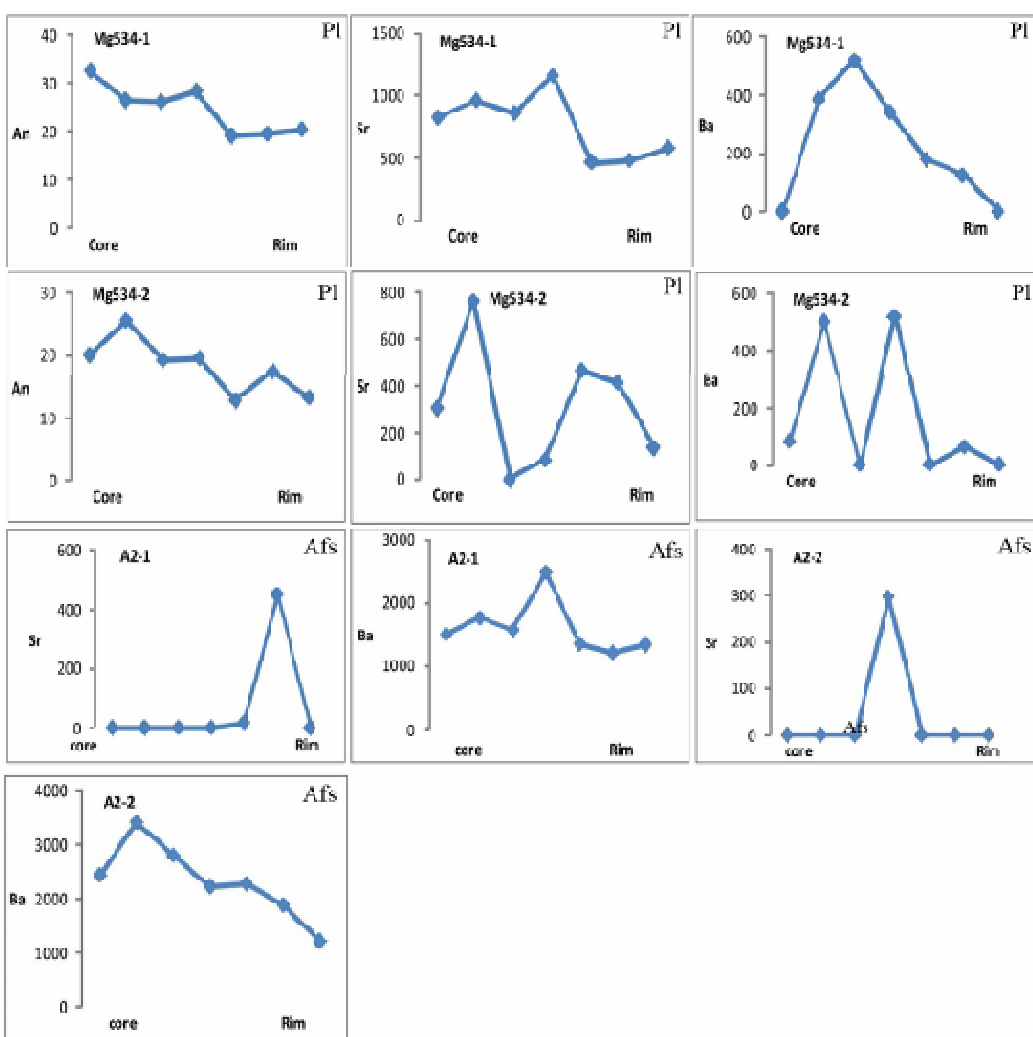
گرچه بی‌نظمی‌ها و نوسان‌هایی در ترکیب این پلازیوکلازها دیده می‌شود ولی از مرکز به لبه بلور اغلب مقدار آنورتیت کاهش می‌یابد، به طوری که نخست روند افزایشی و سپس ناگهان در لبه بلور روند نزولی پرشیبی را نشان می‌دهند. عناصر کمیاب Ba و Sr از مرکز به لبه، الگوی نوسانی دارند (شکل ۴). چنان که در شکل ۳ دیده می‌شود، ترکیب فلدسپار قلیایی در سنگ‌های گرانیت‌وئیدی با $96 - 69 = 96$ و در برونویوم با $94 - 97 = 94$ مشخص شده است (شکل‌های ۳ ب و پ). روند تغییرات عنصر کمیاب Ba در فلدسپارهای قلیایی در گرانیت‌وئیدها از مرکز به لبه حالت نوسانی دارد (شکل ۴). ترکیب پلازیوکلاز برونویوم‌ها در گستره به نسبت گستره‌ای از اوایل الیگوکلاز (An: 11) تا اواسط آندزین (An: 36) در نوسان است (شکل ۳ ب). تجزیه ریزپردازشی درشت بلورهای پلازیوکلاز برونویوم‌ها از مرکز به لبه نشان می‌دهد که این بلورها اغلب پهنه‌بندی نوسانی عادی دارند به طوری که مقدار آنورتیت در لبه به سرعت کاهش می‌یابد. تغییرات الگوی عناصر کمیاب Ba و Sr از مرکز به لبه پلازیوکلازها در برونویوم‌ها حالت زیگزاگی و متغیر دارد (شکل ۵).

منطقه‌بندی را به تجربه بررسی کردند و به این نتیجه رسیدند که تغییرات ۲ تا ۴ مول درصد در مقدار آنورتیت با تغییر فشار تا ۴ کیلوبار همخوانی دارد. به باور برخی پژوهشگران [۴۲، ۴۳]، تغییرات فشار کمتر از ۲ کیلو بار نمی‌تواند بر مقدار آنورتیت پلازیوکلاز بیش از ۵ درصد اثر داشته باشد. به باور هوش و لور [۴۴]، اثر فشار ۱۲ کیلوبار بر ترکیب پلازیوکلاز ۲۰ مول درصد آنورتیت در مقایسه با اثر دما ناچیز است. در سامانه‌های دوتایی مانند پلازیوکلاز، عناصر اصلی برای تشخیص متغیرهای بسیاری که ترکیب کانی‌ها را کنترل می‌کنند، کافی نیستند و از این‌رو توجه به فراوانی عناصر کمیاب چون Mg، Ti، Ba و Fe می‌تواند برای درک شرایط تبلور پلازیوکلازها مفید باشد.

دما کنترل می‌شود [۳۸، ۳۷]. برای بررسی هر یک از عوامل یاد شده باید نخست مشخص شود که آیا منطقه‌بندی پلازیوکلاز در شرایط غیر تعادلی است و یا نزدیک به تعادل به وجود آمده است. از آنجا که فراوانی یکسان عناصر اصلی و فرعی دو بلور مختلف از یک نمونه یکسان نشانگر تشکیل پلازیوکلاز در شرایط نزدیک تعادل است [۳۹]، با توجه به مقدار یکسان عناصر Fe, Mg, Ti, Sr و Ba و مولار تقریباً برابر An و Ab در بلورهای یاد شده و همچنین الگوی نوسانی یکسان در پلازیوکلازها، می‌توان گفت که پلازیوکلازها در شرایط نزدیک تعادل شکل گرفته‌اند. در شرایط نزدیک تعادل، تغییرات کم دما و یا مقدار آب تغییرات قابل توجهی در ترکیب پلازیوکلاز ایجاد نمی‌کند [۴۰]. لانگی و همکاران [۴۱] اثر فشار بر الگوی



شکل ۴ الگوی تغییرات مقدار آنورتیت و عناصر کمیاب Ba و Sr از مرکز به لبه بلورهای پلازیوکلاز (رنگ قرمز) و فلدسپارهای قلایایی (رنگ بنفش) در سنگ‌های گرانیتوفیلی.



شکل ۵ الگوی تغییرات مقدار آنورتیت و عناصر کمیاب Ba و Sr از مرکز به لبه بلورهای پلازیوکلاز (Pl) و فلدسپارهای قلیایی (Afs) در برونو-های ریزدانه‌ای.

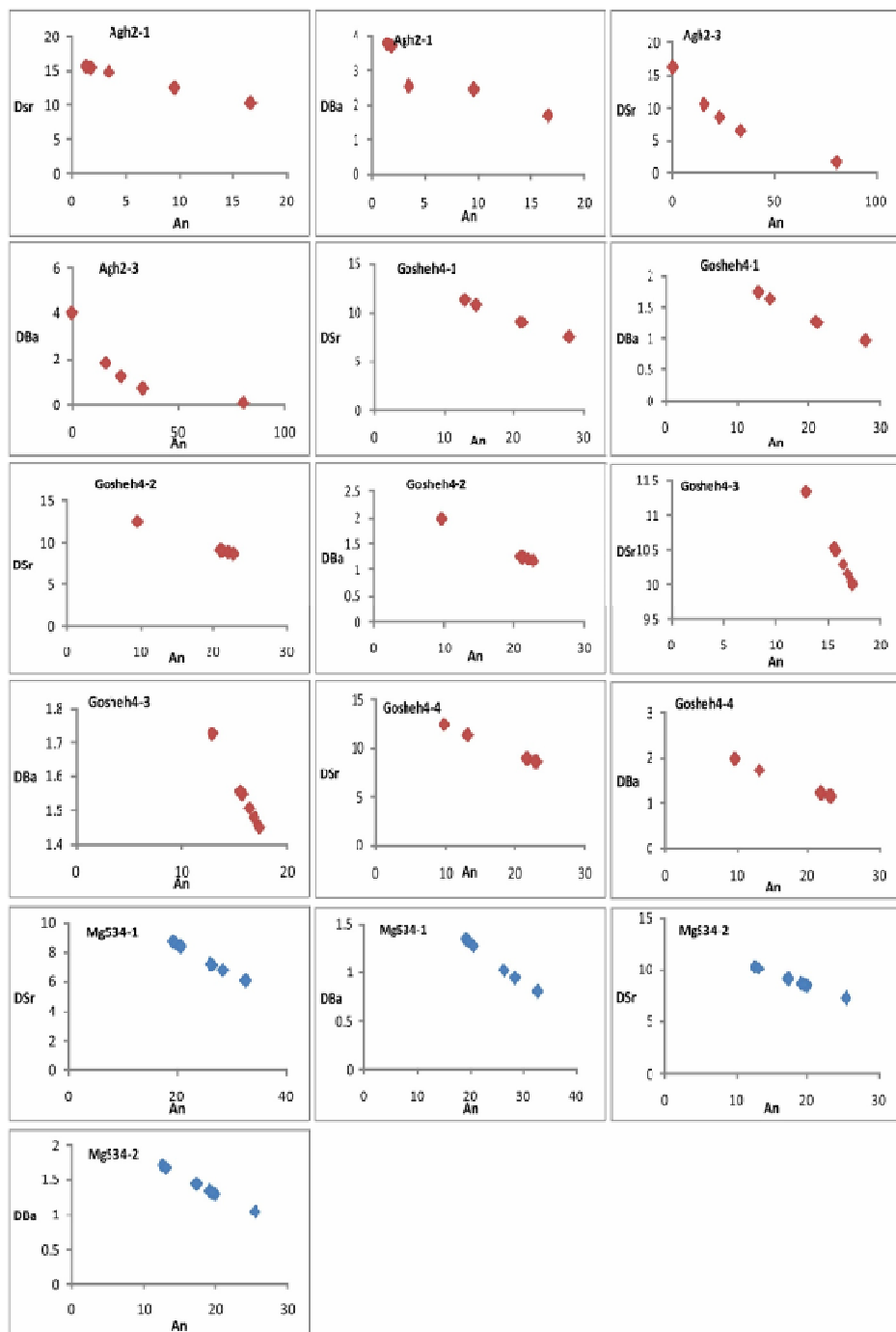
فشار [۴۶] اثر مهمی در این مورد ندارند. ضریب جدایش استرانسیم و باریم از رابطه مرجع [۳۷] به دست می‌آید. دمای به دست آمده بر اساس دماسنچ، نمسنج و فشارسنج بر پایه تعادل پلازیوکلاز-مذاب [۴۷] دمای تبلور پلازیوکلاز و بر حسب کلوین است. به باور بلاندی و وود [۳۷] طی جدایش ماقمایی، ضرایب جدایش استرانسیم و باریم (به ترتیب، DS_r و D_{ba}) در پلازیوکلاز با کاهش مقدار آنورتیت، افزایش می‌یابند (شکل ۶).

از آنجا که Sr در پلازیوکلاز به شدت سازگار است، تبلور پلازیوکلاز در اتفاقک ماقمایی بسته سبب تمرکز بیشترین Sr مذاب در مرکز و کمترین آن در لبه بلور می‌شود، در حالی که در شرایط طبیعی، به دلیل ناسازگاری Ba در شبکه ساختاری

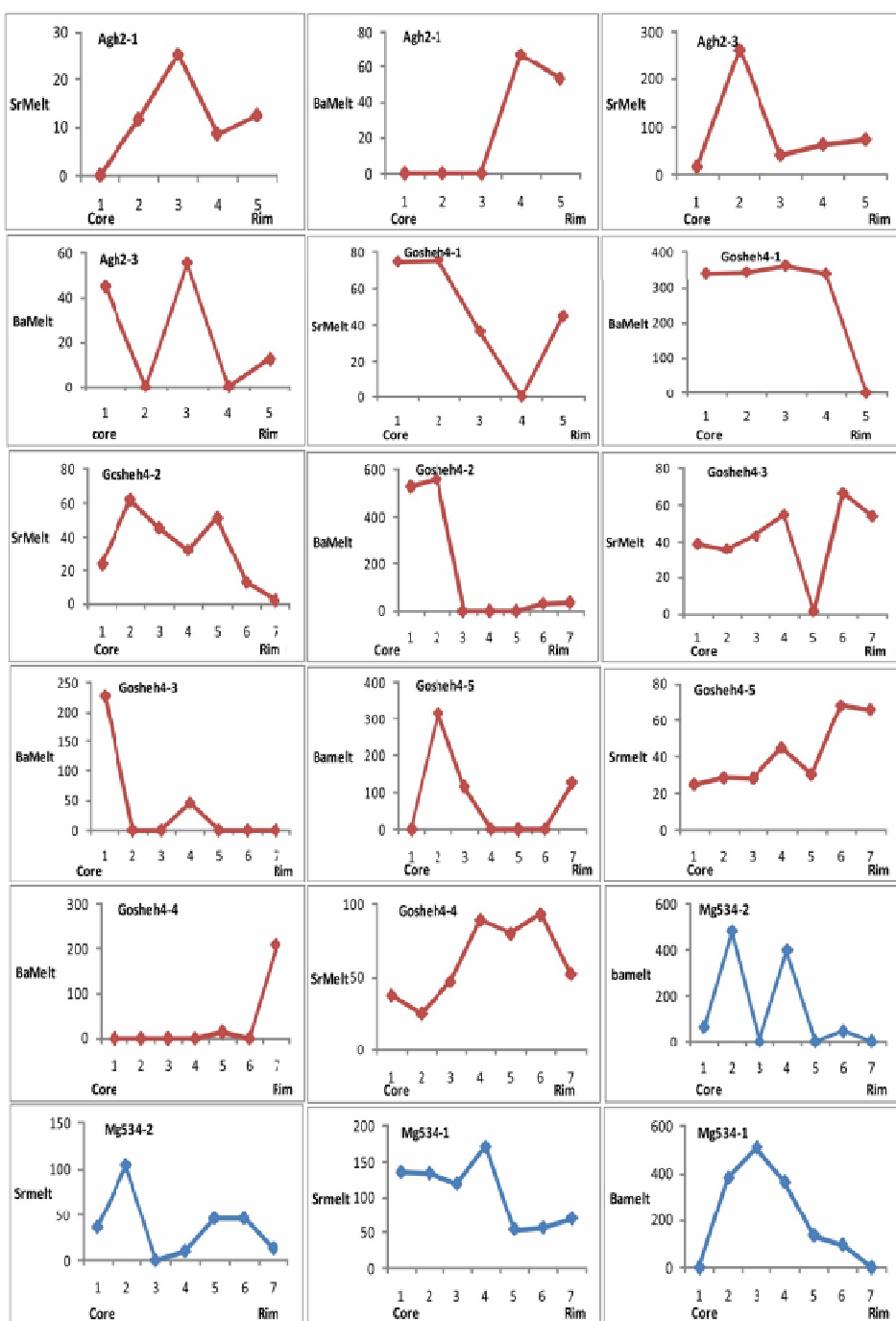
تغییرات دما، فشار و مقدار آب ممکن است بر مقدار آنورتیت پلازیوکلاز اثر داشته باشند، ولی تغییرات چندانی در مقدار Fe و Sr بلوغ ایجاد نمی‌کنند. این در حالی است که تغییر ترکیب ماقمایی اثر قابل توجهی بر عناصر Mg و Sr پلازیوکلاز دارد [۳۲]. بر پایه مقدار عناصر کمیاب در ساختار بلور پلازیوکلاز، می‌توان مقدار عناصر موجود در مذاب در حال تعادل با پلازیوکلاز هنگام تبلور را برآورد کرد. ضریب جدایش عناصر کمیاب میان پلازیوکلاز و مذاب به شیمی بلور [۴۵، ۳۷] و الگوی منطقه-بندی عناصر کمیاب در پلازیوکلاز بستگی دارد. ورنون [۳۵] نشان داد که مهم‌ترین عوامل کنترل کننده ضریب جدایش Ba و Sr در پلازیوکلاز مقدار آنورتیت بلور و تغییرات دما هستند، در حالی که ترکیب عناصر اصلی مذاب [۴۵، ۳۷] و تغییرات

مقدار Sr و Ba مذاب در شکل ۷ با روند جدایش پلاژیوکلاز همخوانی ندارد و می‌توان آن را به تغییرات شیمیایی ماقمایی (آمیختگی ماقمایی) نسبت داد [۳۸]. فراوانی عناصر اصلی توسط دما، فشار و مقدار آب ماقمای کنترل می‌شود، در حالی که فراوانی عناصر کمیاب بازتابی از غلظت این عناصر در مذاب و ضرایب جدایش میان بلور و مذاب است [۴۸].

پلاژیوکلاز، مقدار طی تبلور پلاژیوکلاز افزایش کمی را نشان می‌دهد [۳۸]. هرگاه مقدار Sr مذاب در اثر آمیختگی شیمیایی با ماقمای دارای Sr بیشتر افزایش یابد، مقدار Sr بلورهای پلاژیوکلاز در تعادل با مذاب نیز افزایش می‌یابد. این در حالی است که تغییرات در An به دلیل تغییرات آب، نمی‌تواند بر مقدار Sr در مذاب اثری بگذارد [۳۷]. بنابراین، روند افزایشی



شکل ۶ الگوی تغییرات DSr و DBa نسبت به An در سنگ‌های گرانیتoidی (رنگ قرمز) و برونویوم‌های ریزدانه‌ای (رنگ آبی).



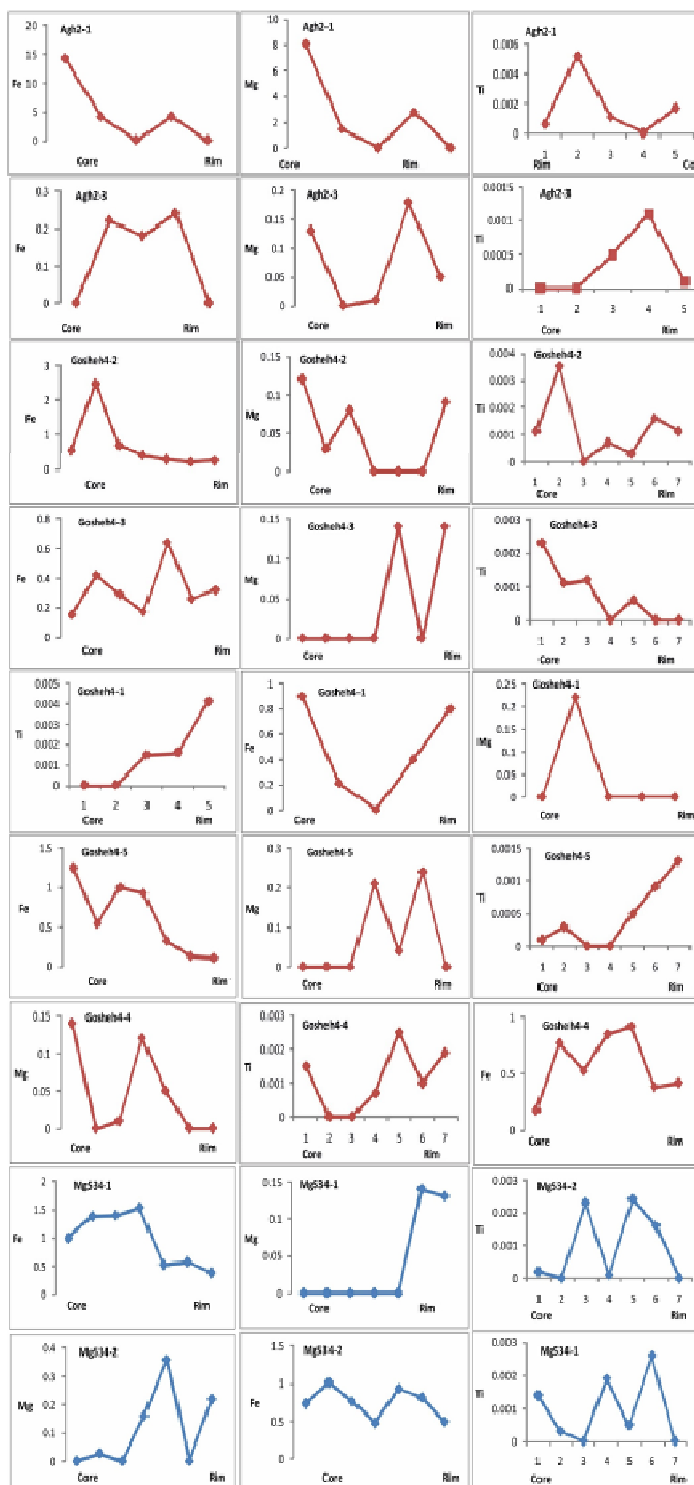
شکل ۷ الگوی سامانمند مقدار Ba و Sr موجود در مذاب از مرکز به لبه در پلازیوکلاز در سنگ‌های گرانیتیوئیدی (رنگ قرمز) و در برونبوم‌های ریزدانه‌ای (رنگ آبی).

بنابراین نبود روند کاهشی عناصر An و Mg, Fe, Sr از مرکز به لبه بلورهای پلازیوکلاز با دگرگونی مذاب در فرآیند جدایش بلوری همخوانی ندارد. همچنین تغییر فراوانی آشکار عناصر کمیاب در پلازیوکلاز را نمی‌توان به ضرایب جدایش متفاوت یا انتشار در بلور نسبت داد، بلکه این تغییرات بازتابی از تغییر فراوانی عناصر کمیاب در مذاب می‌باشد. از سوی

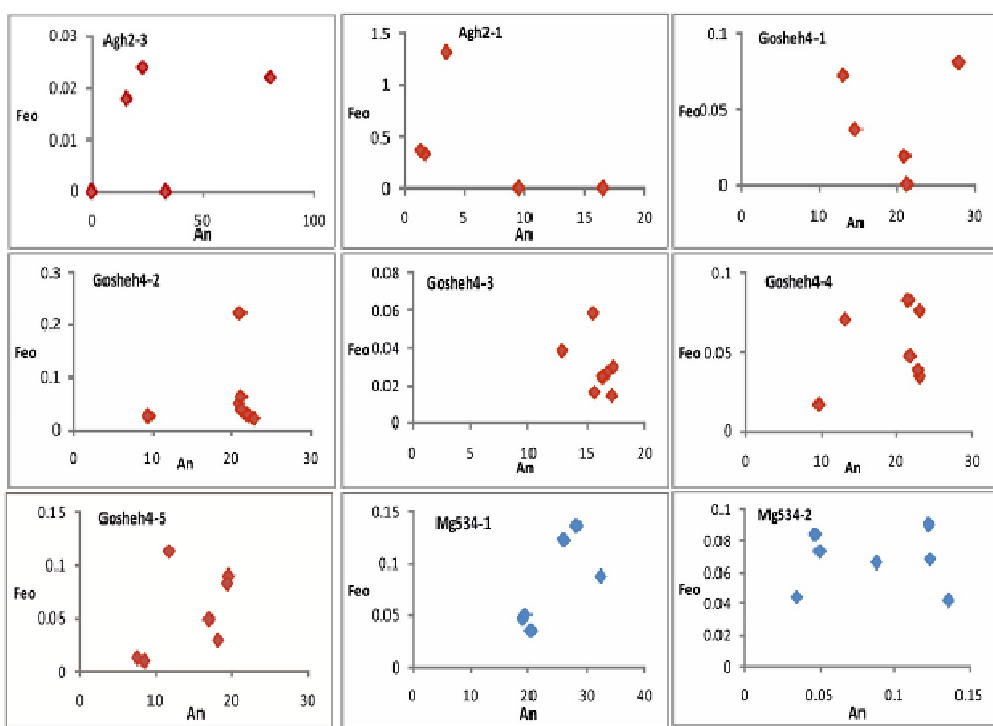
افزایش مقدار Ti, Fe, An و Sr از مرکز به لبه اشاره‌ای بر آمیختگی با یک مagma می‌کند که دگرگون شده دارد (شکل ۷ و ۸) [۴۹، ۵۰]. همچنین به باور اسمیت و همکاران [۳۸]، افزایش ناگهانی تغییرات FeO و MgO در برخی بلورها که با افزایش مقدار An همراه است، بازتابی از هجوم magma مافیک به درون اتاق magma است.

نمونه‌ها سیر صعودی دارد و بنابراین می‌توان گفت که فرآیند آمیختگی ماقمایی نقش قابل توجهی در فرآیندهای دگرگونی ماقمای سازنده نمونه‌های مورد بررسی داشته است.

دیگر، روند صعودی مقدار FeO نسبت به An می‌تواند بیانگر آمیختگی شیمیایی در ماقما باشد [۵۱]. چنانکه در شکل ۹ دیده می‌شود، اکسید FeO نسبت به درصد An در بیشتر



شکل ۸ الگوی سامانمند عناصر Fe , Mg از مرکز به لبه در پلازیوکلاز در سنگ‌های گرانیتیئیدی (رنگ قرمز) و برونویمهای ریزدانه‌ای (رنگ آبی).

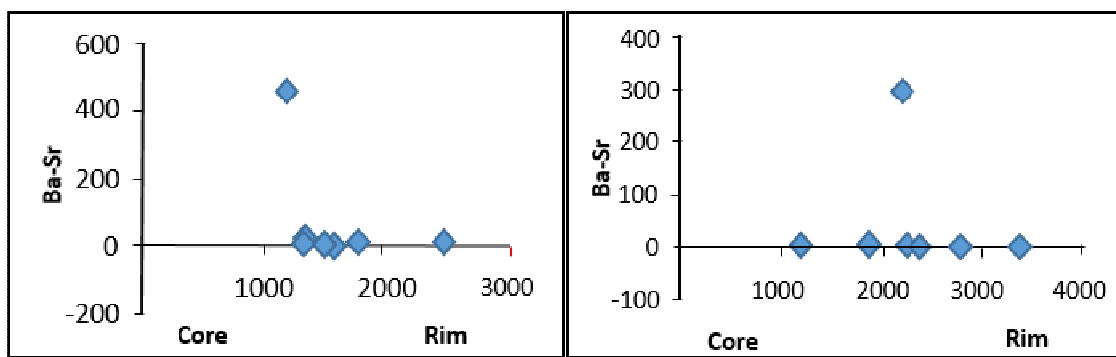


شکل ۹ مقدار آنورتیت نسبت به FeO که سیر صعودی آن بیانگر فرآیند آمیختگی ماگمای در توده نفوذی مورد بررسی است (توده گرانیتوئیدی با رنگ قرمز و توده مونزو گرانیتی با رنگ آبی مشخص شده است).

قلیایی را زمانی می‌توان به فرآیند جدایش ماگمایی نسبت داد که مقدار کانی‌های پلازیوکلاز \pm فلدسپار قلیایی در سنگ کمتر از ۱۲ درصد باشد [۳۷، ۵۶، ۵۵]، در حالی که نتایج تجزیه‌های مودال نشان می‌دهد که کانی‌های پلازیوکلاز و فلدسپار قلیایی حجم بسیاری از نمونه‌ها را به خود اختصاص داده‌اند و بیوتیت در مقایسه با پلازیوکلاز حجم کمتری در ماگما دارد. بنابراین، منطقه‌بندی نوسانی Ba در فلدسپار قلیایی را نمی‌توان به فرآیند جدایش بلوری نسبت داد. به باور بسیاری از پژوهشگران [۴۸، ۵۷، ۵۸]، وجود سطوح انحلال و منطقه‌بندی ناگهانی Ba نمی‌تواند به فرآیند ساده جدایش بلورین مربوط باشد، بلکه این عوارض نشانه بروز آمیختگی ماگمایی با ماگمای مافیک است. پژوهشگرانی دیگر [۶۰، ۵۹] بر این باورند که تغییر در فراوانی عناصر کمیاب بازتابی از رشد برآمده از مذاب مافیک است. برخی دیگر [۴۸] باور دارند که تغییرات مقدار آب در مذاب می‌تواند منطقه‌بندی وارون Ba ایجاد کند. بنابراین، کاهش Ba می‌تواند بر اثر ورود ماگمای آبدار باشد. این نظریه مورد تردید است، زیرا روند پیچیده Ba نسبت به Sr (شکل ۱۰) کمتر می‌تواند توسط فعالیت متغیر آب قابل توجیه باشد.

منطقه بندی در فلدسپارهای قلیایی

بررسی تغییرات مقدار Ba موجود در بلورهای فلدسپار پتاسیم (شکل ۴) برای شناسایی فرآیندهای درگیر در تبلور ماگما اهمیت ویژه‌ای دارد. باریم نسبت به دیگر عناصر کمتر دستخوش فرآیندهای ثانوی انتشار می‌شود، زیرا انتشار Ba به مراتب کمتر از Pb و Sr است و این انتشار آهسته سبب حفظ بهتر شرایط دمایی تبلور در باریم نسبت به عناصر دیگر می‌شود [۵۲]. بررسی تغییرات مقادیر Sr و Ba از مرکز به لبه (شکل ۵) گویای وجود الگوی زیگزاگی و نوسان شدید برای فراوانی عناصر در بلورهای فلدسپار پتاسیم است. چنین الگویی را می‌توان به عواملی چون جدایش بلوری [۴۸]، آمیختگی ماگمایی [۵۳] و تغییر در مقدار آب [۴۸، ۵۴] نسبت داد. البته، پرسش بنیادین این است که کدام یک از عوامل یادشده نقش مهمتری در دگرگونی نمونه‌های موردن بررسی داشته است. برخی پژوهشگران [۴۸] بر این باورند که نوسانات Ba در فلدسپار قلیایی می‌تواند با در نظر گرفتن تبلور همزمان فازهای دیگر مانند کوارتز، پلازیوکلاز و کانی‌های مافیک قبل توجیه باشد. با توجه به ضرایب جدایش Ba و Sr در کانی‌های بیوتیت، فلدسپار قلیایی و پلازیوکلاز، منطقه بندی عادی و وارون در فلدسپار



شکل ۱۰ نمودار تغییرات عناصر Ba-Sr در فلدسپارهای قلیایی برونبوهمها.

بروجرد با سن ژوراسیک میانی برونزد دارد. بررسی‌های صحرایی و سنگنگاری نشان می‌دهند که توده نفوذی گوشه دارای ترکیب مونزوگرانیت و گرانودیوریت است. بلورهای فلدسپار اصلی ترین کانی‌های سازنده این توده نفوذی به شمار می‌روند. بر اساس نتایج تجزیه ریزپردازشی پلازیوکلازها در سنگ‌های گرانیتوئیدی، ترکیب این کانی‌ها در گستره ترکیبی میان اوایل آلبیت (An: 2) در لبه تا اوایل آندزین (An: 33) در مرکز تغییر می‌کند و ترکیب پلازیوکلازها در برونبوهمها در اوایل آلبیت (An: 11) تا اوایل آندزین (An: 36) در نوسان است. ترکیب فلدسپار قلیایی در سنگ‌های گرانیتوئیدی با $Or = 94 - 97$ و در برونبوهم با $Or = 69 - 96$ مشخص شده است. منطقه‌بندی نوسانی پلازیوکلاز می‌تواند نشان دهنده تغییرات شرایط فیزیکوشیمیایی ماقمایی مانند تغییرات فشار، دما، مقدار آب و یا تغییرات شیمی ماقما باشد. تغییرات دمایی، فشار و مقدار آب بر مقدار آنورتیت ممکن است اثر داشته باشد، ولی به تغییرات کمی در Fe , Mg , Ba و Sr می‌انجامد. از آنجا که تغییرات قبل توجهی برای فراوانی نسبی عنصر کمیاب در بلورهای دارای منطقه‌بندی پلازیوکلاز ثبت شده است، می‌توان گفت که فرآیند تغییر ترکیب ماقما توانسته است افرون بر ایجاد تغییرات در فراوانی عناصر اصلی، بر عناصر Fe , Ba , Mg و Sr نیز اثر بگذارد. افزایش مقدار کمیاب Ti , Sr و FeO از مرکز به لبه اشاره‌ای بر آمیختگی با یک ماقمایی کمتر دگرگون شده دارد. همچنین، افزایش ناگهانی تغییرات MgO در برخی بلورها که با افزایش مقدار An همراه است، بازتابی از هجوم ماقمای مافیک به درون اتاق ماقمایی است. بنابراین، نبود روند کاهشی عناصر Fe , Sr و Mg از An از

بسیاری از برونبوهمهای ریزدانه‌ای مافیک موجود در سنگ‌های اسیدی دارای درشت بلورهایی از کوارتز و فلدسپار هستند که از دید سنگنگاری و ترکیب کانی‌شناسی، همانندی نزدیکی با بلورهای موجود در سنگ میزبان اسیدی دارند. بسیاری از پژوهشگران بر این باورند که این بلورها از ماقمای سازنده سنگ میزبان به درون مذاب مافیک سازنده برونبوهمها وارد شده‌اند، زیرا گرانزروی ماقمای سازنده برونبوهم کمتر و یا دست بالا مانند ماقمای سنگ اسیدی بوده است. وجود این درشت بلورها را می‌توان به عنوان یک دلیل کلیدی برای رخداد فرآیند آمیختگی ماقمایی در نظر گرفت [۴۹، ۵۸]. زیرا آنها ویژگی‌های غیر تعادلی مانند انحلال و منطقه‌بندی نوسانی را در خود ثبت کرده‌اند [۳۶، ۴۹، ۵۸]، از سوی دیگر، درشت بلورهای پلازیوکلاز دارای منطقه‌بندی هستند که کاهش آنی دمای ماقما، کاهش فشار بخار آب، آمیختگی ماقمایی، هضم قطعه‌های بلوری سنگ دیواره و تغییر غلظت ماقما از عوامل ایجاد آن هستند. این منطقه‌بندی از نوع لکه‌ای^۱ است که هنگامی شکل می‌گیرد که بلور در مذابی غنی از آنورتیت غوطه‌ور شود [۶۲، ۶۱]. در اثر این پدیده، مقدار آنورتیت در بخش‌هایی از بلور حدود ۱۰ مول درصد افزایش می‌یابد و همچنین مقدار Sr افزایش قبل توجهی را نشان می‌دهد [۵۰]. بنابراین افزایش ناگهانی An و Sr در بخش‌هایی از بلورهای پلازیوکلاز می‌تواند مربوط به ورود یک مذاب مافیک‌تر به مخزن ماقمایی و نشانگر پدیده آمیختگی ماقمایی باشد.

برداشت

توده گرانیتوئیدی گوشه با سن اؤسن پایانی به صورت توده کوچک، مجزا و کم و بیش مدور در جنوب شرق توده اصلی

Irainan Journal of crystallography and mineralogy 13 (2005) 287-302.

[9] Esmaeili D., Khalaj M., Valizadeh M.V., "Crystal-chemistry and whole rock geochemistry evidences for magma mixing, contamination and metasomatism in Akapol Granitoid (SW Kelardasht, Central Alborz) (in Persian)", Irainan Journal of crystallography and mineralogy 15 (2007) 169-192.

[10] Sepahi A.A., "The role of xenocrysts, enclaves and syn-plutonic dykes in the interpretation of magmatic evolution of the Alvand plutonic complex with emphasis on geological and mineralogical evidence for magma mingling ", Irainan Journal of crystallography and mineralogy 16 (2008) 233-248. (in Persian)

[11] Tahmasbi Z., Khalili M., Ahmadi Khalaji A., Sarjoghian F., "Geochemical and mineralogical evidence for magma mixing in enclaves of Astaneh area (south western Arak) ", Irainan Journal of crystallography and mineralogy 17 (2010) 591-608. (in Persian)

[12] Eichelberger J. C., Chertkoff D. G., Dreher S. T., Nye C. J., "Magmas in collision: Rethinking chemical zonation in silicic magmas", Geology 28 (2000) 603-606.

[13] Ayati F., Mahdouri S., "Investigation of crystal size distribution in igneous rocks: Guide to the magma evolution in magma chambers ", Irainan Journal of crystallography and mineralogy 18 (2010) 419-430

[14] Pringle G.J., Trembath L.T., Pajari G.E., "Crystallization history of a zoned plagioclase", Mineralogical Magazine 39 (1974) 867-877.

[15] Hattori K., Sato H., "Magma evolution recorded in plagioclase zoning in 1991 Pinatubo eruption products", American Mineralogist, 81(1996) 982-994.

[16] Couch S., Sparks R. S. J., Carroll M.R., "Mineral disequilibrium in lavas explained by convective self-mixing in open magma chambers", Nature 411(2001) 1037-1039.

[17] Nelson S. T., Montana A., "Sieve-textured plagioclase in volcanic rocks produced by rapid decompression", American Mineralogist 77(1992) 1242-1249.

[18] Shcherbakov V. D., Plechov P. Y., Izbekov P. E., Shipman J. S., "Plagioclase zoning as an indicator of magma processes at Bezymianny Volcano, Kamchatka", Contributions to Mineralogy and Petrology 162 (2011) 83-99.

مرکز به لبه بلورهای پلازیوکلاز با دگرگونی مذاب در فرآیند جدایش بلوری همخوانی ندارد. همچنین، تغییر فراوانی آشکار عناصر کمیاب در پلازیوکلاز را نمی‌توان به ضرایب جدایش متفاوت یا انتشار در بلور نسبت داد، بلکه این تغییرات بازتابی از تغییر فراوانی عناصر کمیاب در مذاب میزان است. از سوی دیگر، روند صعودی مقدار FeO نسبت به An می‌تواند بیانگر آمیختگی شیمیایی در ماقما می‌باشد. مقدار FeO نسبت به An در بیشتر نمونه‌ها سیر صعودی دارد و بنابراین می‌توان گفت که فرآیند آمیختگی ماقمایی نقش قابل توجهی در فرآیندهای دگرگونی ماقمایی نمونه‌های مورد بررسی داشته است. الگوی سامانمند عناصر اصلی و فرعی در بلور فلدسپار از مرکز به لبه نشان دهنده روندهای نوسانی است و همه بر نقش مؤثر آمیختگی ماقمایی در شکل‌گیری توده نفوذی مورد بررسی تأکید دارند.

مراجع

- [1] Reid J. B., Evans O. C., Fates D. G., "Magma mixing in granitic rocks of the Central Sierra Nevada, California", Earth and Planetary Science Letters 66 (1983) 243-261.
- [2] Bindeman I. N., "Experimental studies of magma mixing", International Geology Review 35 (1993) 721-738.
- [3] Hibbard M. J., "The magma mixing origin of mantled feldspars", Contributions to Mineralogy and Petrology 76 (1981) 158-170.
- [4] Blake D. H., "Intrusive felsic-mafic net-veined complexes in north Queensland", Bulletin - Bureau of Mineral Resources, Journal of Australian Geology and Geophysics 6 (1981) 95-99.
- [5] Barrier M., "Hybridisation de roches basiques par un granite porphyroïde dans le massif de Ploumanac, h (Cotes-du-Nord)", Comptes Rendus de l'académie des Sciences de Paris 274 (1972) 983-986.
- [6] Baxter S., Feely M., "Magma mixing and mingling textures in granitoids: examples from the Galway granite, Connemara, Ireland", Mineralogy and Petrology 76 (2002) 63-74.
- [7] Blundy J. D., Sparks R. S. J., "Petrogenesis of mafic inclusions in granitoids of the Adamello Massif, Italy", Journal of Petrology 33 (1992) 1039-1104.
- [8] Asiabanza A., Kananian A., "Textural and mineralogical evidences of magma mixing in the trachyandesitic lava flows in the Ab-e-Torsh district, Western Qazvin, Iran (in Persian)",

- Iran*", Journal of Science Islamic Republic of Iran 13 (2002) 249-254.
- [30] Ahmadi-Khalaji A., "Petrology of Boroujerd granitoid complex", P.HD. thesis, University of Tehran, Tehran, Iran, (2006). (in Persian).
- [31] Kretz R., "Symbols for rock forming minerals", American Mineralogist 68(1983) 277-279.
- [32] Ginibre C., Worner G., Kronz A., "Crystal zoning as an archive for magma evaluation", Elements 3 (2007) 261–266.
- [33] Ginibre C., Kronz A., Worner G., "Minor- and trace-element zoning in plagioclase: implications for magma chamber processes at Parinacota volcano, northern Chile", Contributions to Mineralogy and Petrology 143 (2002) 300–315.
- [34] Vernon R.H., "A practical guide to Rock Microstructural", Cambridge, (2004) 594p.
- [35] Vernon R. H., "Crystallization and Hybridism in Microgranular Enclave Magmas: Microstructural Evidence", Journal of Geophysical Research 95 (1990) 17.849-17.859.
- [36] Waight T.E., Maas R., Nicholls I.A., "Fingerprinting feldspar phenocrysts using crystal isotopic composition stratigraphy: implications for crystal transfer and magma mingling in S-type granites", Contributions to Mineralogy and Petrology 139 (2000) 227-239.
- [37] Blundy J.D., Wood B.J., "Crystal-chemical controls on the partitioning of Sr and Ba between plagioclase feldspar, silicate melts, and hydrothermal solutions", Geochimica et Cosmochimica Acta 55 (1991) 193–209.
- [38] Smith V.C., Blundy J.D., Arce J.L., "ATemporal Record of Magma Accumulation and Evolution beneath Nevado deToluca, Mexico, Preserved in Plagioclase Phenocrysts", Journal of Petrology 50 (2009) 405-426.
- [39] Brophy J.G., Dorais M.J., Donnelly-Nolan J., Singer B.S., "Plagioclase zonation styles in hornblende gabbro inclusions from Little Glass Mountain, Medicine Lake volcano, California: implications for fractionation mechanisms and the formation of composition gaps", Contributions to Mineralogy and Petrology 126 (1996) 121–136.
- [40] Loomis T.P., Welber P.W., "Crystallization processes in the Rocky Hill Granodiorite Pluton, California: An interpretation based on compositional zoning of plagioclase", Contributions to Mineralogy and Petrology 81 (1982) 230–239.
- [19] Snyder D., Tait S., "Magma mixing by convective entrainment", Nature 379 (1996) 529–531.
- [20] Masoudi F., "Contact metamorphism and pegmatite development in the region S.W of Arak iran", Ph.D. thesis, University of Leed, England (1997) 321p.
- [21] Berthier F., Billiau H.P., Halbrorom B., Marizot P., "Tude Stratigraphique, Petrologique et structural de La region de Khorramabad (Zagros, Iran)", These De 3e Cycle, Grenoble, France (1974) pp. 282.
- [23] Ahmadi-Khalaji A., "The study of Petrology and petrofabric intrusive bodies and contact metamorphism in the Boroujerd area", M.SC. thesis, University of Tehran, Tehran, Iran, (1999), 171p. (in Persian).
- [23] Ahmadi-Khalaji A., "Petrology of the granitoid complex of Boroujerd", Ph.D thesis, University of Tehran, Tehran, Iran, (2006), 190p. (in Persian).
- [24] Radfar J., "The study of geology and petrology of granitoid rocks in the Astaneh- Gusheh area", MSc thesis, Tehran University, Tehran, Iran, (1987) (in Persian).
- [25] Rahmani Javanmard, S., Tahmasbi Z., Ding X., Ahmadi Khalaji A., Hetherington C.J., "Geochemistry of garnet in pegmatites from the Boroujerd IntrusiveComplex, Sanandaj-Sirjan Zone, western Iran: implications for the origin of pegmatite melts", Mineralogy and Petrology 112 (2018) 837-856.
- [26] Zare Shooli M., Tahmasbi Z., Saki A., Ahmadi Khalaji A., "Mineral chemistry, pressure-temperature determination and fluids activities in Boroujerd migmatites using cordierite mineral (in Persian)", Irainan Journal of crystallography and mineralogy 27 (2019) 135-150
- [27] Zare Shooli M., Tahmasbi Z., Saki A., Ahmadi Khalaji A., "The study of changing Rare Earth and Trace Elements to determine the origin of Borujerd migmatites mineral (in Persian)", Irainan Journal of crystallography and mineralogy 27 (2019) 941-958
- [28] Ahmadi-Khalaji A., Esmaeil D., Valizadeh M.V., Rahimpour-Bonab H., "Petrology and Geochemistry of the Granitoid Complex of Boroujerd, Sansandaj-Sirjan Zone, Western Iran", Journal of Asian Earth Sciences 29 (2007) 859-877.
- [29] Masoudi F., Yardley B.W.D., Cliff R.A., "Rb-Sr geochronology of pegmatites, volcanic rocks and a hornfels in the region south-west of Arak-

- monogenetic cones", Journal of Volcanology and Geothermal Research 165 (2007) 142–162.*
- [52] Cherniak D.J., "Ba diffusion in feldspar", *Geochimica et Cosmochimica Acta* 66 (2002) 1641–1650.
- [53] Blundy J.D., Shimizu N., "Trace element evidence for plagioclase recycling in calc-alkaline magmas", *Earth and Planetary Science Letters* 102 (1991) 178–197.
- [54] Singer B.S., Dungan M.A., Layne G.D., "Textures and Sr, Ba, Mg, Fe, K and Ti compositional profiles in volcanic plagioclase: clues to the dynamics of calc-alkaline magma chambers", *American Mineralogist* 80 (1995) 776–798.
- [55] Icenhower J., London D., "Element partitioning of Rb, Cs, Sr and Ba between alkali feldspar and peraluminous melt", *American Mineralogist* 81 (1996) 719–734.
- [56] Icenhower J., London D., "An experimental study of element partitioning among biotite, muscovite, and coexisting peraluminous silicic melt at 200 MPa (H_2O)", *American Mineralogist* 80 (1995) 1229–1251.
- [57] Mehnert K.R., Busch W., "The Ba content of K-feldspar megacrysts in granite: a criterion for their formation", *Neues Jahrbuch für Mineralogie Abhandlungen* 140 (1981) 221–252.
- [58] Vernon R.H., "K-feldspar megacrysts in granites-phenocrysts, not porphyroblasts", *Earth Science Reviews* 23 (1986) 1–63.
- [59] Cox R.A., Dempster T.J., Bell B.R., Rogers G., "Crystallisation of the Shap Granite: evidence from zoned K-feldspar megacrysts", *Journal of the Geological Society* 153 (1996) 625–635.
- [60] Gagnepain D., Daly J.S., Poli G., Morgan D., "Microchemical and Sr isotopic investigation of zoned K-feldspar megacrysts: insights into the petrogenesis of a granitic system and disequilibrium crystal growth", *Journal of Petrology* 46 (2005) 1689–1724.
- [61] Hammouda T., Pichavant M., "Melting of flourphlogopite-plagioclase pairs at 1 atmosphere", *European Journal of Mineralogy* 12 (2000) 315–328.
- [62] Nakamura M., Shimakita S., "Dissolution origin and synentrapment compositional change of melt inclusion in plagioclase", *Earth and Planetary Science Letters* 161 (1998) 119–133.
- [41] Longhi J., Fram M.S., Vander Auwera J., Montooth J.N., "Pressure effects, kinetics, and rheology of anorthositic and related magmas", *American Mineralogist* 78 (1993) 1016–1030.
- [42] Nelson S.T., Montana A., "Sieve-textured plagioclase in volcanic rocks produced by rapid decompression", *American Mineralogist* 77 (1992) 1242–1249.
- [43] Pietranik A., Koepke J., Puziewicz J., "Crystallization and resorption in plutonic plagioclase: Implications on the evolution of granodiorite magma (Gesiniec granodiorite, Strzelin Crystalline Massif, SW Poland)", *Lithos* 86 (2006) 260–280.
- [44] Hough T.B., Luhr J.F., "Plagioclase-melt equilibria in hydrous systems", *American Mineralogist* 76 (1991) 477–492.
- [45] Bindeman I.N., Davis A.M., Drake M.J., "Ion microprobe study of plagioclase-basalt partition experiments at natural concentration levels of trace elements", *Geochimica et Cosmochimica Acta* 62 (1998) 1175–1193.
- [46] Vander Auwera J., Longhi J., Duchesne J.C., "The effect of pressure on DSr (plag/melt) and DCr (opx/melt): implications for anorthosite petrogenesis", *Earth and Planetary Science Letters* 178 (2000) 303–314.
- [47] Keith D.P., "Igneous thermometers and barometers based on plagioclase + liquid equilibria: Tests of some existing models and new calibrations", *American Mineralogist* 90 (2005) 336–346.
- [48] Long P.E., Luth W.C., "Origin of K-feldspar megacrysts in granitic rocks: implication of a partitioning model for barium", *American Mineralogist* 71 (1986) 367–375.
- [49] Barbarin B., "Plagioclase xenocrysts and mafic magmatic enclaves in some granitoids of the Sierra Nevada batholith, California", *Journal of Geophysical Research* 95 (1990) 17,747–17,756.
- [50] Muller A., Breiter K., Seltmann R., Pekskay Z., "Quartz and feldspar zoning in the eastern Erzgebirge volcano-plutonic complex (Germany, Czech Republic): evidence of multiple magma mixing", *Lithos* 80 (2005) 201–227.
- [51] Ruprecht P., Worner G., "Variable regimes in magma systems documented in plagioclase zoning patterns: El Misti stratovolcano and Andahuay